

ارزیابی پاسخ هیدرولوژیکی حوضه آبخیز تیل آباد استان گلستان طی دوره‌های آتی تحت تأثیر تغییر کاربری اراضی پیش‌بینی شده

حسین سلمانی^۱، واحد بردی شیخ^{۲*}، عبدالرسول سلمان ماهینی^۳، مجید اونق^۴، ابوالحسن فتح‌آبادی^۵

۱. دانشجوی دکتری آبخیزداری، دانشکده مرتع و آبخیزداری، دانشگاه علوم کشاورزی و منابع طبیعی گرگان

۲. دانشیار، دانشکده مرتع و آبخیزداری، دانشگاه علوم کشاورزی و منابع طبیعی گرگان

۳. دانشیار، دانشکده شیلات و محیط زیست، دانشگاه علوم کشاورزی و منابع طبیعی گرگان

۴. استاد، دانشکده مرتع و آبخیزداری، دانشگاه علوم کشاورزی و منابع طبیعی گرگان

۵. استادیار، دانشکده مرتع و آبخیزداری، دانشگاه گنبد کاووس

(تاریخ دریافت ۱۰/۰۲/۱۳۹۶؛ تاریخ تصویب ۱۸/۰۲/۱۳۹۶)

چکیده

هدف از این تحقیق، بررسی رواناب و رسوب و دیگر مؤلفه‌های چرخه هیدرولوژیکی حوضه آبخیز تیل آباد طی دوره‌های آتی تحت تأثیر تغییر کاربری اراضی پیش‌بینی شده در نظر گرفته شد. به این منظور، با استفاده از تصاویر سنجنده‌های MSS (۱۹۸۶)، OLI (۲۰۰۰) و ETM+ (۲۰۱۵) ماهواره Landsat و اطلاعات جانبی منطقه تغییر کاربری اراضی در هفت طبقه تهیه و نقشه کاربری اراضی سال‌های ۲۰۲۵ و ۲۰۴۰ بر اساس رویکرد مدل‌سازی زنجیره مارکوف و اتمامی سلولی پیش‌بینی شد. شبیه‌سازی در پایه زمانی ماهانه در سال‌های ۲۰۱۴-۲۰۰۰ و با استفاده از مدل SWAT و برنامه SUFI2 انجام پذیرفت. بعد از هر اجرای مدل SWAT بر اساس کاربری آتی، خروجی مدل استخراج و نتایج شبیه‌سازی با مقادیر پایه مقایسه شد. نتایج ارزیابی نقشه کاربری سال‌های ۱۹۸۶، ۲۰۰۰ و ۲۰۱۵ و با شاخص کاپای برابر ۰/۹۵۵، ۰/۸۶۵ و ۰/۹۶۱ روند کلی تخریب در منطقه را نشان داد. ارزیابی میزان تطابق بین کاربری اراضی شبیه‌سازی شده و واقعی برای سال ۲۰۱۵ ضریب کاپای ۰/۷۹۹ را نشان داد. در مرحله واسنجی ضرایب نش-ساتکلیف، تعیین و ریشه میانگین مربعات خطای برای مقادیر رواناب ماهانه در خروجی حوضه به ترتیب ۰/۷۱، ۰/۷۰ و ۰/۳۲ و در مرحله اعتبارسنجی ۰/۶۱، ۰/۶۱ و ۰/۳۶ به دست آمد. این ضرایب برای غلظت رسوب ماهانه در دوره واسنجی به ترتیب ۰/۶۵، ۰/۶۷ و ۰/۶۴۳ و در مرحله اعتبارسنجی ۰/۵۷، ۰/۶۱ و ۰/۶۱ به دست آمد. نتایج بررسی نشان داد شبیه‌سازی رواناب ماهانه نسبت به رسوب دقت بیشتری دارد. در تحلیل کاربری اراضی مشخص شد که با تخریب منطقه در جهت قهقرا مقدار رواناب سطحی، رسوب، کل جریان آب، جریان زیرقشری و تبخیر و تعرق افزایش و مقادیر جریان آب زیرزمینی، جریان برگشتی از آبخوان سطحی، تغذیه آبخوان عمیق، نفوذپذیری و آب‌گذری کاهش چشمگیری پیدا می‌کند؛ همچنین مقادیر اوج و میانه جریان بیشتر می‌شود و جریان پایه کاهش می‌یابد. به‌طور کلی، آثار تغییرات در سال ۲۰۴۰ نسبت به سال ۲۰۲۵ بیشتر است.

کلیدواژگان: تغییرات کاربری اراضی، حوضه آبخیز تیل آباد، زنجیره مارکوف-atomai سلولی، سیکل هیدرولوژیکی، مدل SWAT

سطحی و عمیق و تبخیر و تعرق می‌شود. از طرفی، با تخریب منطقه در جهت قهقرا مقدار رواناب افزایش یافت و مقادیر نفوذپذیری، آب‌گذری به آبخوان سطحی و عمیق و تبخیر و تعرق واقعی کاهش چشمگیری پیدا کرد. Bieger و همکارانش [۲] تأثیر تغییر کاربری اراضی بر بیلان آبی و انتقال رسوب حوضه‌ای در چین با مدل SWAT را بررسی کردند. نتایج پژوهش آنها نشان داد با افزایش مناطق جنگلی و باغ‌های میوه و کاهش اراضی زراعی دیم رواناب سطحی، فرایش خاک و رسوب به ترتیب $۵/۹$ ، $۴۷/۷$ و $۴۲/۹$ درصد کاهش پیدا خواهد کرد. Anaba و همکارانش [۹] در بررسی خود در حوضه‌ای در اوگاندا دریافتند که نوع پوشش زمین و تغییرات آن تأثیر مستقیمی بر مقادیر رواناب و رسوب خروجی از حوضه دارند. به طوری که با کاهش $۱۷/۹۶$ درصد اراضی جنگلی و افزایش $۱۲/۵۶$ درصد اراضی مسکونی مقدار رواناب سطحی و رسوب به ترتیب $۲۶/۷$ درصد و $۲۰/۵۰$ درصد افزایش یافت. Briones و همکارانش [۴] در ارزیابی پاسخ هیدرولوژیکی حوضه آبخیزی در فیلیپین در پاسخ به تغییرات کاربری اراضی به این نتیجه رسیدند که با کاهش در اراضی جنگلی و مرتعی و افزایش زراعت و زمین‌های کشاورزی رواناب، جریان پایه و آب زیرزمینی حوضه کاهش یافتد. Wang و همکارانش [۱۰] در پژوهشی مشابه با مدل‌سازی اثر گزینه‌های مختلف کاربری اراضی در حوضه‌ای در چین به این نتیجه رسیدند که تبدیل اراضی جنگلی به اراضی مرتعی در حوضه به افزایش میزان رواناب سالانه و کاهش آب زیرزمینی بر اثر کاهش نفوذپذیری خاک و کاهش تعرق حوضه منجر می‌شود. نتایج مطالعات Khoi و Suetsugi [۶] در بررسی اثر تغییر کاربری اراضی حوضه‌ای در ویتنام نشان داد با کاهش $۱۶/۳$ درصدی اراضی جنگلی رواناب سطحی $۰/۲$ تا $۰/۴$ درصد، بار رسوبی $۱/۸$ تا ۳ درصد و تبخیر و تعرق $۰/۷$ تا $۳/۸$ درصد افزایش یافت و به عکس دبی آب زیرزمینی و نفوذپذیری و آب‌گذری کاهش پیدا کرد. همچنین، نتایج تعداد زیادی از مطالعات، که در حوضه‌هایی با ابعاد مختلف انجام گرفت، نشان دادند تغییرات کاربری اراضی به صورت کاهش اراضی جنگلی و افزایش زراعت و مناطق مسکونی به افزایش مقدار رواناب و رسوب حوضه منجر می‌شود [۱۱-۱۳]. پوشش جنگلی حوضه آبخیز تیل آباد بهشت در حال تخریب و نابودی است. این عوامل به همراه استفاده نادرست از سطح سرزمین سبب کاهش میزان آب و

مقدمه

چرخه هیدرولوژیکی سیستمی پیچیده و بیان کننده چرخش مداوم آب از طریق فرایندهای بارش، رواناب سطحی، نفوذپذیری و تبخیر و تعرق است [۱]. عوامل مختلفی بر مؤلفه‌های مختلف چرخه هیدرولوژیکی تأثیرگذارند که در این بین اهمیت کاربری اراضی به دلیل کارکرد مؤثرتر دخالت‌های انسانی در آن چشمگیرتر است [۲]. کاربری اراضی بیان کننده استفاده از پوشش فیزیکی سطح زمین در شرایط حاضر است و یک فاکتور محرك در بیلان آبی است و تأثیر مهمی در انتقال آب و کاهش جریان‌های سطحی دارد [۳]. بررسی رابطه بین پاسخ هیدرولوژیکی حوضه و نوسانات کاربری اراضی برای مدیریت صحیح و بهینه منابع آبی و برنامه‌ریزی کاربری اراضی ضروری است [۴]. درک رابطه بین تغییرات کاربری اراضی و عوامل به وجود آورنده آن و تأثیرات بعدی آن بر رژیم هیدرولوژیکی، اطلاعات ضروری برای برنامه‌ریزی استفاده از زمین و مدیریت پایدار منابع طبیعی را فراهم می‌کند [۵]. تغییر کاربری اراضی موجب تغییر در چرخه هیدرولوژیکی حوضه آبخیز و در نتیجه برهم‌خوردن تعادل بین بارش، تبخیر و تعرق، نفوذپذیری، رواناب سطحی، جریان آب زیرزمینی و فرایش خاک و انتقال رسوب می‌شود [۶]. برای پاسخ به پرسش‌های مربوط به آثار تغییرات کاربری اراضی و مدیریت آبی، مدل‌های هیدرولوژیکی ابزار مفیدی هستند. مدل‌های هیدرولوژیکی برای فهم بهتر فرایندها و عوامل مختلف مؤثر در چرخه هیدرولوژیکی حوضه، مدیریت بهینه منابع آبی، تحلیل جریان رودخانه و ارزیابی آثار تغییرات کاربری اراضی در دوره‌های زمانی مختلف توسعه یافته‌اند [۷]. در این تحقیق از مدل نیمه‌توزیعی- مفهومی و پیوسته SWAT^۱ برای این مقصود استفاده شده است که در مطالعات اخیر به شکل گسترده در سرتاسر دنیا برای شبیه‌سازی هیدرولوژیکی توسط محققان مختلف استفاده شده است. Salmani و همکارانش [۸] تأثیر تغییر کاربری اراضی بر مؤلفه‌های مختلف سیکل هیدرولوژیکی حوضه آبخیز قراقلى استان گلستان را در چهار سنتاریو و در دو گرایش مشت و منفی کاربری اراضی با مدل SWAT بررسی کردند. نتایج پژوهش آنها نشان داد بهبود کاربری حوضه سبب کاهش مقادیر رواناب و افزایش نفوذپذیری، آب‌گذری به آبخوان

1. Soil and Water Assessment Tool

به عنوان ابزاری کلیدی برای مدیران منابع آبی به منظور مدیریت بهتر منابع آبی منطقه استفاده شود.

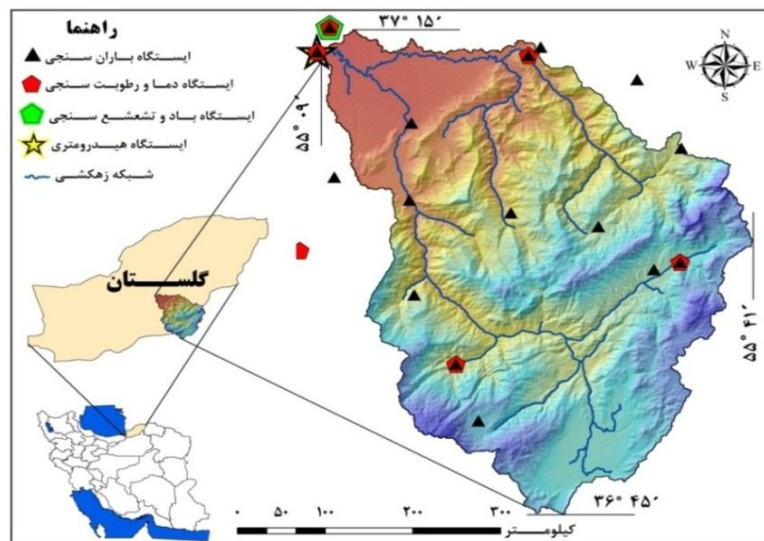
مواد و روش‌ها

منطقه مطالعه‌شده

حوضه آبخیز تیل آباد با مساحت ۱۵۴۰ کیلومترمربع بخشی از حوضه آبخیز بزرگ گرگان رود است که در مختصات جغرافیایی $۳۶^{\circ} ۴۵' - ۳۷^{\circ} ۱۵'$ طول شرقی و $۵۵^{\circ} ۰۹' - ۵۵^{\circ} ۴۰'$ عرض شمالی در استان گلستان و در چین خوردگی‌های شمالی سلسله کوه‌های البرز قرار دارد (شکل ۱). این حوضه از جنوب به حوضه شهرهود، از شرق به اوغان، از غرب به قورچای و از شمال به بخشی از حوضه بزرگ گرگان رود محدود می‌شود. دامنه ارتفاعی این حوضه از ۲۸۸۹ متر در مناطق کوهستانی تا ۲۸ متر در مناطق دشتی متغیر است. بیشتر کاربری اراضی در حوضه یادشده کاربری‌های زراعت، جنگل پهنه‌برگ و مرتع-بوته‌زار به ترتیب با $۲۴/۴۱$ و $۲۸/۴۵$ درصد است. متوسط سالانه دما، رطوبت نسبی و بارش حوضه به ترتیب $۱۴/۱۶^{\circ}\text{C}$ ، $۶۸/۱۹$ درصد و $۵۹۷/۱۳$ میلی‌متر است.

افت کیفیت آب‌های سطحی به صورت افزایش بار روسوی شده است. از این‌رو، لازم است تا منابع تغییر پوشش طبیعی شناسایی شوند و با تبیین رابطه آن با رواناب و رسوب راهکارهای مدیریتی لازم برای آن ارائه شود. در سال‌های گذشته تغییر منابع آب و بار روسوی برای حوضه آبخیز تیل آباد مسائل و مشکلات زیادی را به وجود آورده است. تغییر کاربری اراضی حوضه طی دوره گذشته موجب تغییر در مؤلفه‌های مختلف سیکل هیدرولوژیکی شده است که می‌توان با اجرای برنامه کاربری مؤثر و کارآمد در سطح حوضه، آن را مدیریت کرد.

هدف از این تحقیق، شبیه‌سازی هیدرولوژیکی حوضه آبخیز تیل آباد، آشکارسازی تغییرات کاربری اراضی از گذشته تا حال، پیش‌بینی کاربری اراضی برای دوره آتی و بررسی مؤلفه‌های مختلف سیکل هیدرولوژیکی تحت تأثیر کاربری اراضی پیش‌بینی شده است. همچنین، به عنوان یک رویکرد جدید تأثیر کاربری اراضی دوره آتی بر رفتار هیدرولوژیکی حوضه آبخیز تیل آباد با استفاده از شاخص هیدرولوژیکی مختلف بررسی شد. تحقیق حاضر می‌تواند



شکل ۱. موقعیت جغرافیایی حوضه آبخیز تیل آباد در استان گلستان و کشور ایران

ArcSWAT استفاده شد. داده‌های مورد نیاز برای شبیه‌سازی توسط مدل SWAT شامل مدل رقومی ارتفاع (DEM)، نقشه شبکه زهکشی، کاربری اراضی، داده‌های خاکشناسی و اطلاعات هواشناسی است. بعد از ورود داده‌های مربوط به

روش تحقیق

شبیه‌سازی هیدرولوژیکی

در این پژوهش برای بررسی تأثیر کاربری‌های اراضی مختلف طی دوره حال و آتی بر مؤلفه‌های مختلف سیکل هیدرولوژیکی، از مدل کاربردی و نیمه‌توزیعی-فیزیکی

1. Digital Elevation model

فرسایش جهانی خاک. در این بررسی برای روندیابی از روش‌های ماسکینگام، برای محاسبه حجم رواناب سطحی از روش شماره منحنی SCS، برای تعیین حداکثر رواناب از روش استدلای و برای محاسبه تبخیر و تعرق روش پنمن-مونتیث با توجه به دقت بیشتر برای شبیه‌سازی استفاده شد [۱۶].

بعد از وارد کردن داده‌های اقلیمی که شامل (داده‌های ۲۲ ایستگاه باران‌سنجدی، ۱۵ ایستگاه دماسنجدی، ۱۲ ایستگاه رطوبت‌سنجدی، ۲ ایستگاه بادسنجدی و تابش‌سنجدی) است مدل اجرا شد. شبیه‌سازی در پایه زمانی ماهانه و طی سال‌های ۲۰۰۸-۲۰۰۸ انجام گرفت. با توجه به تعداد زیاد پارامترها در مدل، ممکن نبود اندازه‌گیری مستقیم سیلاری از این پارامترها و با توجه به اینکه بسیاری از پارامترها بر اساس پیش‌فرض مدل هستند بهینه‌سازی پارامترها با استفاده از داده‌های مشاهداتی ایستگاه هیدرومتری اراز کوسه واقع در خروجی حوضه به عنوان ایستگاه مبنا صورت گرفت [۱۶]. بر اساس مطالعات قبلی صورت گرفته در این زمینه در پژوهش‌های مختلف [۱۴ و ۱۵] تعداد ۴۱ پارامتر مهم و تأثیرگذار بر رواناب و رسوب انتخاب و برای حوضه آبخیز تیل آباد تنظیم شد. واسنجی مدل به صورت خودکار و با استفاده از برنامه SUFI-2 تحت بسته نرم‌افزاری SWAT صورت گرفت. بعد از بهینه‌سازی پارامترها طی دوره واسنجی (سال‌های ۲۰۰۸-۲۰۰۸)، صحت‌سنجدی بر اساس پارامترهای بهینه‌شده برای دوره زمانی ۲۰۰۹-۲۰۱۴ نیز در برنامه SUFI-2 صورت گرفت. همچنین، قابلیت مدل در شبیه‌سازی دبی و رسوب با استفاده از شاخص‌های آماری ضریب همبستگی (R^2 ، نش-ساتکلیف (E_{NS})، ریشه میانگین مربعات خطای RMSE) و PBIAS (درصد اریب) بررسی شد. بعد از اطمینان از دقت مدل، مؤلفه‌های مختلف چرخه هیدرولوژیکی و بار معلق استخراج و تجزیه و تحلیل شد.

آشکارسازی تغییرات کاربری اراضی طی دوره‌های گذشته و پیش‌بینی آثار آینده تغییرات پوشش طبقه‌بندی داده‌های ماهواره‌ای و تولید نقشه‌های کاربری/پوشش اراضی

آشکارسازی و پیش‌بینی تغییرات پوشش اراضی در دادن دید کلی برای مدیریت بهتر منابع طبیعی و حفاظت اراضی و اتخاذ تدبیر سیاست‌های درازمدت بسیار مؤثر است. در این تحقیق ابتدا به منظور دست‌یابی به تغییرات کمی و

مدل رقومی ارتفاع با دقت ۳۰ در ۳۰ متر (SRTM) و شبکه زهکشی، حوضه آبخیز تیل آباد به چندین زیر‌حوضه تقسیم شد. آن‌گاه بر اساس نقشه‌های خاک‌شناسی، کاربری اراضی و شیب، بر اساس مقدار آستانه در نظر گرفته شده، به تعدادی واحد پاسخ هیدرولوژیکی (HRU^۱) تقسیم شد. داده‌های هواشناسی مورد نیاز مدل شامل بارندگی، کمینه و بیشینه دما، رطوبتی نسبی، تابش خورشیدی و سرعت باد بر پایه زمانی روزانه مربوط به ایستگاه‌های داخل و اطراف حوضه است (شکل ۱). علاوه بر این، از ایستگاه سینوپتیک گنبد و على‌آباد به عنوان ایستگاه مولد اقلیمی (ایستگاه استفاده شده برای بازسازی خلاً آماری) استفاده شد. معادله بیلان آبی در مدل SWAT به صورت رابطه ۱ است [۱۴]:

$$SW_t = SW_0 + \sum_{i=1}^t (R_{day} - Q_{surf} - E_a - W_{seep} - Q_{gw}) \quad (1)$$

که در آن: SW_t : مقدار نهایی رطوبت خاک (میلی‌متر آب)؛ SW_0 : مقدار اولیه رطوبت خاک (میلی‌متر آب)، t : زمان (روز)، R_{day} : مقدار بارش در روز t (میلی‌متر آب)، Q_{surf} : مقدار رواناب سطحی در روز t (میلی‌متر آب)، W_{seep} : مقدار تبخیر و تعرق در روز t (میلی‌متر آب)، E_a : مقدار تراوش که در روز t از نیمیرخ خاک وارد منطقه غیراشباع می‌شود (میلی‌متر آب)، Q_{gw} : مقدار آب برگشتی در روز t (میلی‌متر آب) است. در مدل SWAT فرسایشی که به وسیله بارش و رواناب ایجاد می‌شود از رابطه اصلاح شده معادله جهانی فرسایش (MUSLE^۲) که توسط ویشمایر و اسمیت ارائه شده است به صورت رابطه ۲ محاسبه می‌شود [۱۵]:

$$Sed = 11 / \lambda \left(Q_{surf} q_{peak} A_{hru} \right)^{1/5} K_{usle} C_{usle} P_{usle} L_{usle} F_{c_frg} \quad (2)$$

که در آن: Sed: بار رسوب (تن در روز)، Q_{surf} : حجم رواناب سطحی (میلی‌متر بر هکتار)، A_{hru} : مساحت هر واحد پاسخ هیدرولوژیک، K_{usle} : فاکتور فرسایش پذیری معادله فرسایش جهانی خاک، C_{usle} : فاکتور پوشش و مدیریتی معادله فرسایش جهانی خاک، P_{usle} : فاکتور عملیات حفاظتی خاک، L_{usle} : فاکتور توبوگرافی معادله فرسایش جهانی خاک، F_{c_frg} : فاکتور ذرات درشت خاک در معادله

1. Hydrologic Response Unit

2. Modified Universal Soil Loss Equation

گوگل ارث (Google Earth)، نظرهای کارشناسان و افراد محلی به عنوان اطلاعات جانبی استفاده شد تا در نهایت با دقت بیشتر نقشه‌های کاربری برای منطقه مطالعه شده تهیه شود.

کیفی رخداده در اکوسیستم بررسی شده، تصاویر سنجنده‌های Landsat MSS و OLI و ETM+ متعلق به سه دوره زمانی ۱۹۸۶، ۲۰۰۰ و ۲۰۱۵ استفاده شد (جدول ۱). علاوه بر این، از تصاویر به دست آمده از

جدول ۱. مشخصات تصاویر ماهواره‌ای استفاده شده برای منطقه مطالعه شده

تاریخ میلادی	تاریخ شمسی	ماهواره	سنجدنده	ردیف	گذار
۱۹۸۶	۱۳۶۵ / ۲۹ اردیبهشت	لندست ۵-۴	TM	۳۴	۱۶۲
۲۰۰۰	۱۳۷۹ / ۰۵ خرداد	لندست ۷	ETM	۳۴	۱۶۲
۲۰۱۵	۱۳۹۴ / ۲۹ اردیبهشت	لندست ۸	OLI	۳۴	۱۶۲

طبقه‌بندی تصاویر ماهواره‌ای استفاده شد [۱۸]. همچنین، از تفسیر چشمی داده‌های موجود بر اساس شناخت محقق از منطقه (آبخیزنشین) و نرم‌افزار گوگل ارث برای تهیه نقشه‌های با دقت زیاد استفاده شد. بعد از طبقه‌بندی تصاویر ماهواره‌ای برای دوره‌های زمانی مختلف، ارزیابی نقشه‌های طبقه‌بندی شده با استفاده از نمونه‌های تعلیمی از سطح منطقه، که به صورت تصادفی برداشت شده‌اند و در روند طبقه‌بندی دخالت داده نشده‌اند، انجام گرفت. برای این کار از ضریب کاپا^۲ (رابطه ۳) برای ارزیابی دقت نقشه‌های استخراجی استفاده شد.

$$Kappa = \frac{p_o - p_c}{1 - p_c} \times 100 \quad (3)$$

که در این رابطه p_o : توافق مشاهده شده نسبی میان ارزیابها و p_c : احتمال تواافق مورد انتظار است.

مدل‌سازی و پیش‌بینی تغییرات کاربری اراضی برای دوره آتی

برای پیش‌بینی روند تغییرات کاربری‌ها در سال‌های آتی از روش زنجیره مارکوف^۳ و مدل اتومای سلوالی^۴ در محیط برنامه IDRISI استفاده شد. آنالیز زنجیره مارکوف برای تعیین میزان تغییر کاربری‌های مختلف دو ماتریس تهیه می‌کند تا به وسیله آن شبیه‌سازی تغییرات احتمالی در آینده انجام گیرد. به این‌منظور، از نقشه‌های کاربری اراضی در سال‌های ۱۹۸۶ و ۲۰۰۰ و برای شبیه‌سازی نقشه کاربری اراضی سال ۲۰۱۵ استفاده شد. سپس، برای اعتبارسنجی مدل، نقشه کاربری اراضی شبیه‌سازی شده سال ۲۰۱۵ با

ابتدا کیفیت تصاویر ماهواره‌ای از نظر وجود خطای هندسی، ژئومتری، رادیومتری، پرتوسنجی مانند راه‌آهشتدگی، زیر هم قرارنگرftن خطوط اسکن، پیکسل‌های تکراری، خطاهای اتمسفری مانند وجود لکه‌های ابر بررسی شد. برای تفکیک و شناسایی بهتر پدیده‌ها به روش چشمی، تصویر رنگی کاذب برای هر تصویر ماهواره‌ای تهیه شد [۶]. برای بررسی تغییرات کاربری اراضی نقشه کاربری اراضی برای سه بازه زمانی ۱۹۸۶، ۲۰۰۰ و ۲۰۱۵ تهیه شد. به منظور تهیه نقشه کاربری نهایی از روش طبقه‌بندی نظارت شده استفاده شد. در این روش نخستین گام معرفی نمونه‌های تعلیمی برای هر طبقه از پوشش است. به این‌منظور، از نقشه‌های توپوگرافی ۱:۲۵۰۰۰ سازمان نقشه‌برداری کشور، نقشه‌های کاربری اراضی قدیمی منطقه، بازدهی‌های میدانی و تفسیر بصیر تصاویر رنگی کاذب تولید شده بهره گرفته شد [۱۷]. بر اساس هدف تحقیق، کاربری‌های موجود در منطقه و پدیده‌های قابل شناسایی در تصاویر ماهواره‌ای استفاده شده، هفت کلاس کاربری شامل آب، جنگل سوزنی‌برگ، جنگل پهن‌برگ متراکم، جنگل پهن‌برگ تُنک، زراعت، بایر-مرتع و اراضی مسکونی برای منطقه تعریف شد. در این طبقه‌بندی انواع پدیده‌های مسکونی در یک طبقه کاربری و زمین‌های کشاورزی آبی و دیم با هم‌دیگر در یک طبقه قرار گرفته است. پس از مشخص شدن نمونه‌های تعلیمی و کلاس‌های پوشش اراضی از روش طبقه‌بندی نظارت شده و الگوریتم بیشترین شباهت^۱ که بسیار معمول است در محیط نرم‌افزار ENVI4.8 برای

2. Kappa coefficient

3. Markov chain

4. Cellular Automata

1. Likelihood Maximum

تغییر کاربری اراضی پیش‌بینی شده بر میزان رواناب و بار معلق، درک بهتر رفتار هیدرولوژیکی حوضه آبخیز و کمی کردن پاسخ هیدرولوژیکی تحت شرایط فعلی و آتی کاربری اراضی، شاخص‌های مختلف ارائه شده در جدول ۲ بررسی شد. شاخص‌های استفاده شده بر اساس تحقیقات [۲۰ و ۲۱] انتخاب شدند. برای محاسبه این شاخص‌ها بعد از استخراج مقادیر دبی و بار معلق مربوط به دوره پایه و آتی، آن گاه بر اساس کد نوشته شده در برنامه Matlab منحنی تداوم جریان (FDC^۱) برای سری‌های زمانی مختلف دبی و بار معلق به دست آمد. آن گاه منحنی تداوم جریان به بخش‌های مختلف تقسیم شد و احتمال تجاوز وقوع مختلف صفر تا یک برای سری‌های مختلف به دست آمد. سپس، خصوصیت آن بررسی شد. منحنی FDC سه بخش اصلی دارد: ۱. بخش جریان زیاد (احتمال تجاوز جریان ۰/۰۲ تا صفر) که مشخص‌کننده پاسخ هیدرولوژیکی حوضه به وقایع بارندگی شدید است؛ ۲. بخش میانی جریان (احتمال تجاوز جریان ۰/۰۷ تا ۰/۰۲) که مشخص‌کننده جریان مربوط به وقایع بارندگی با اندازه متوسط و همچنین مربوط به پاسخ آهسته جریان پایه اولیه و ثانویه میان‌مدت است و ۳. بخش جریان کم (احتمال تجاوز جریان ۰/۰۷ تا یک) که مربوط به جریان پایدار و درازمدت است که تحت تأثیر واکنش جریان پایه طی دوره‌های خشکسالی طولانی مدت است [۲۰].

بحث و نتایج

تهیه نقشه کاربری اراضی منطقه مطالعه شده و آشکارسازی تغییرات

نقشه کاربری اراضی برای منطقه مطالعه‌ای برای سال‌های ۱۹۸۶، ۲۰۰۰ و ۲۰۱۵ میلادی که به روش طبقه‌بندی نظارت شده تهیه شده در شکل ۲ نشان داده شده است. همچنین، بر اساس نقشه‌های به دست آمده مساحت هر یک از کاربری‌های مختلف موجود در منطقه و میزان تغییرات طی دوره‌های مختلف محاسبه و در جدول‌های ۳ و ۴ ارائه شده است.

نقشه واقعی به دست آمده از طبقه‌بندی تصویر ماهواره‌ای همان سال مقایسه شد و ضریب کاپای آن محاسبه شد و سپس نقشه پیش‌بینی برای سال‌های ۲۰۲۵ و ۲۰۴۰ به دست آمد.

یک زنجیره مارکوف دنباله‌ای از متغیرهای تصادفی X_1, X_2, X_3, \dots است که خاصیت مارکوف دارند (رابطه ^(۴)):

$$\begin{aligned} P_r(X_{n+1} = x | X_1 = x_1, X_2 = x_2, \dots, X_n = x_n) \\ = P_r(X_{n+1} = x | X_n = x_n) \end{aligned} \quad (۴)$$

مقادیر ممکن برای X_i ، یک مجموعه قابل شمارشی را می‌سازد که فضای حالت نام دارد. زنجیره مارکوف مجموعه‌ای از حالات ممکن تعریف می‌شود که این فرایند از یک وضعیت شروع شده و به طور متوالی از وضعیتی به وضعیت دیگر جابه‌جا می‌شود و هر کدام یک گام تلقی می‌شود. در این مدل دو نقشه مربوط به دو دوره زمانی به صورت ماتریسی با یکدیگر مقایسه می‌شوند، به طوری که بر اساس بیشترین احتمال پیش‌بینی می‌شود که هر پیکسل در هر کلاس با چه احتمالی در همان کلاس می‌ماند یا به کلاس دیگر تبدیل می‌شود [۱۹].

مدل CA_Markov^۱ تلفیقی از سلول‌های خودکار و زنجیره مارکوف است. زنجیره مارکوف و CA هر دو در واقع مدل دینامیک گسسته در زمان و موقعیت‌اند. مشکل ذاتی زنجیره مارکوف این است که اطلاعات و موقعیت مکانی را در نظر نمی‌گیرد. احتمال تبدیل ممکن است برای هر گروه با صحت و دقت همراه باشد اما فاقد دانش و آگاهی از توزیع مکانی تصادفی درون هر گروه کاربری زمین است. به بیانی، مؤلفه مکانی در خروجی مدل وجود ندارد. به همین دلیل از CA برای اضافه کردن مشخصه مکانی به مدل استفاده می‌شود. در این مدل پروسه زنجیره مارکوف تغییرات زمانی را در میان کلاس کاربری/پوشش زمین بر اساس احتمالات تبدیل کنترل می‌کند در حالی که تغییرات مکانی به وسیله قوانین محلی تعیین شده از فیلتر مکانی CA یا نقشه شایستگی کنترل می‌شود [۱۹].

شاخص‌های آماری استفاده شده برای بررسی اثر تغییر کاربری اراضی طی دوره آتی بر رفتار هیدرولوژیکی در این مطالعه به عنوان یک رویکرد جدید برای بررسی اثر

2. Flow duration curve

1. Markov-cellular automata

جدول ۲. شاخص‌های آماری استفاده شده برای بررسی اثر تغییر کاربری اراضی طی دوره آتی بر رفتار هیدرولوژیکی حوضه تیل آباد

ردیف	نام شاخص	فرمول
	درصد اریب	
۱	ضریب رواناب (رسوب)	$SF\ Coef = \frac{\sum_{i=1}^N Q_i}{\sum_{i=1}^N P_i}, i = 1, 2, \dots, N$, $\% \Delta SF\ Coef = \frac{SF\ Coef(FDC_2) - SF\ Coef(FDC_1)}{SF\ Coef(FDC_1)} \times 100$
	درصد اریب	
۲	میانگین رواناب (رسوب)	$Mean\ SF = \frac{\sum_{i=1}^N Q_i}{N}, i = 1, 2, \dots, N$, $BiasRR = \frac{Mean\ SF(FDC_2) - Mean\ SF(FDC_1)}{Mean\ SF(FDC_1)} \times 100$
	درصد اریب	
۳	چولگی رواناب (رسوب)	$SF\ Skew = Mean\ SF - SF\ Med$, $\% \Delta SF\ Skew = \frac{SF\ Skew(FDC_2) - SF\ Skew(FDC_1)}{SF\ Skew(FDC_1)} \times 100$
	درصد اریب	
۴	تغییرپذیری رواناب (رسوب)	$SF\ CV = std(FDC_i) - Mean\ SF(FDC_i)$, $\% \Delta SF\ CV = \frac{SF\ CV(FDC_2) - SF\ CV(FDC_1)}{SF\ CV(FDC_1)} \times 100$
	درصد اریب	
۵	شیب قطاع میانی	$BiasFDCmidslope = \frac{(\log(FDC_{2,0.2}) - \log(FDC_{2,0.7})) - (\log(FDC_{1,0.2}) - \log(FDC_{1,0.7}))}{(\log(FDC_{1,0.2}) - \log(FDC_{1,0.7}))} \times 100$
	درصد اریب	
۶	مقادیر جریان در قطاع بالا (اریب جریان بالا)	$BiasFHV = \frac{\int_0^{0.02} FDC_{2,p} dp - \int_0^{0.02} FDC_{1,p} dp}{\int_0^{0.02} FDC_{1,p} dp} \times 100$
	درصد اریب	
۷	مقادیر جریان در قطاع پایین (اریب جریان پایین)	$BiasFLV = \frac{\int_{0.7}^1 (\log(FCD_{2,p}) - \log(Q_{min})) dp - \int_{0.7}^1 (\log(FCD_{1,p}) - \log(Q_{min})) dp}{\int_{0.7}^1 (\log(FCD_{1,p}) - \log(Q_{min})) dp} \times 100$
	درصد اریب	
۸	قطعه میانی سطوح جریان (میانه جریان)	$BiasFMM = \frac{SF\ Med(FDC_2) - SF\ Med(FDC_1)}{SF\ Med(FDC_1)} \times 100$

در این روابط Q_i : روابط ماهانه در زمان i (m^3/s); P_i : بارندگی ماهانه در زمان i (mm); N : تعداد مشاهدات; Δ : درصد تغییرات؛ std : انحراف معیار؛ $SF\ Med$: میانه مقادیر جریان؛ $Mean\ SF$: میانگین مقادیر جریان؛ $FDC_{i,p}$: روابط با احتمال تجاوز p از شماره i منحنی تداوم جریان (FDC)؛ Q_{min} : مقدار حداقل جریان از بین همه مقادیر منحنی تداوم جریان شماره i ($FCD_{i,p}$)

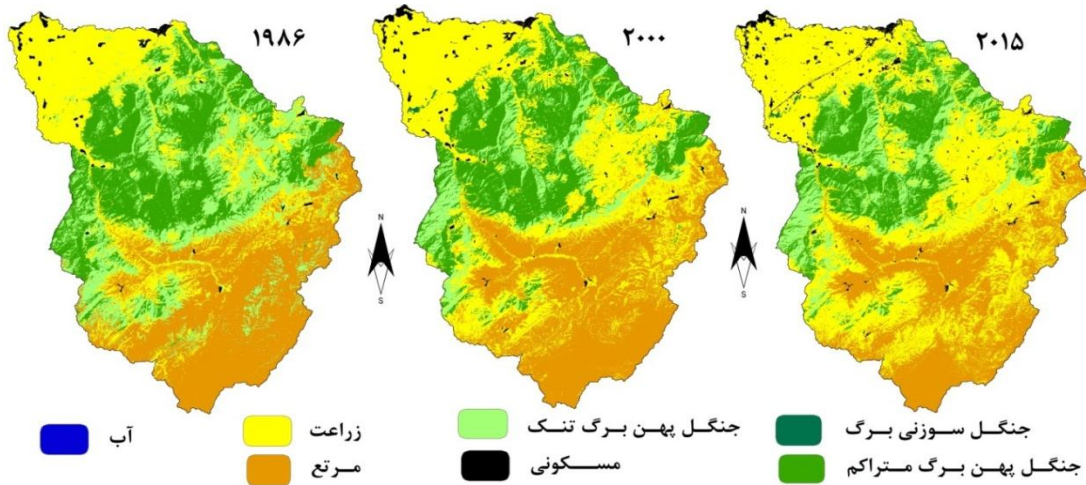
در یک بررسی کلی روند تغییرات کاربری اراضی اپوشش زمین حوضه آبخیز تیل آباد طی ۳۰ سال بررسی شده نشان می‌دهد طبقه جنگل سوزنی با بیشترین افزایش درصد مساحت روبه رو بوده است، ولی مساحت این کاربری در برابر سایر کاربری‌ها ناچیز است. افزایش این نوع کاربری به علت کاشت درختان سوزنی برگ و غیر بومی در منطقه طی این بازه زمانی است. مناطق مسکونی نیز با روندی تقریباً یکنواخت در حال افزایش است که این افزایش طی ۳۰ سال برابر با ۱۰۶/۲۱ درصد بوده است. همچنین، کاربری زراعت بهشت در این بازه زمانی افزایش یافته است (به مقدار ۸۷/۶۴۰ درصد). از طرف دیگر، کاربری جنگل پهنه برگ تُنک با مقدار کاهشی ۴۶/۵۰ درصدی بیشترین کاهش مساحت را داشته که وسعتی برابر با ۱۵۰۵۲/۰۸ هکتار از مساحت آن کاهش پیدا کرده است. کاهش مساحت کاربری‌های جنگل پهنه متراکم و مرتع در رتبه‌های بعدی قرار دارند و در طی سی سال ۳۰/۱۸ و ۱۶/۸۹ درصد از مساحت آنها کم شده است. نتایج مربوط به برآورد دقت طبقه‌بندی‌ها نیز در جدول ۳ ارائه شده است. دقت طبقه‌بندی‌ها به طور کلی بیش از ۷۵ درصد و برای استفاده در مدل مارکوف مناسب است [۱۸]. بر این اساس، شاخص کاپا برای کاربری‌های سال‌های ۱۹۸۶، ۲۰۰۰ و ۲۰۱۵ به ترتیب برابر ۰/۹۵۵، ۰/۸۶۵ و ۰/۹۶۱ به دست آمد که نشان‌دهنده دقت خوب روش الگوریتم حداقل احتمال برای طبقه‌بندی رقومی تصاویر ماهواره‌ای برای منطقه مطالعه شده دارد که با نتایج Komaki و Karimi [۱۹] و Sang و Mohamadi [۱۸] همکارانش [۲۲] مطابقت دارد.

مدل‌سازی تغییرات به وسیله مدل سلول‌های خودکار-مارکوف در سال‌های آتی
پس از بررسی نتایج به دست آمده از صحت مدل‌سازی تغییرات کاربری اراضی/پوشش زمین در سال ۲۰۱۵، از مدل سلول‌های خودکار مارکوف با ضریب کاپای معادل ۰/۷۹۹ برای پیش‌بینی میزان تغییرات تا سال‌های ۲۰۲۵ و ۲۰۴۰ استفاده شد. در جدول‌های ۳ و ۴ میزان مساحت هر یک از طبقات کاربری اراضی و میزان تغییرات آنها نسبت به دوره پایه (سال ۲۰۰۰) ارائه شده است.

نتایج به دست آمده نشان می‌دهد در دوره ۱۹۸۶ تا ۲۰۰۰ بیشترین افزایش وسعت مساحت مربوط به کاربری جنگل سوزنی برگ با مقدار ۹۶/۱۸ درصد است. به طوری که مساحت این کاربری اراضی از ۱۳۲/۴۹ هکتار در سال ۱۹۸۶ به ۲۵۹/۹۱ هکتار در سال ۲۰۰۰ افزایش پیدا کرده است. بعد از طبقه جنگل سوزنی برگ، طبقه زراعت با آهنگ افزایش ۵۳/۵۹ درصدی در جایگاه دوم قرار دارد. مساحت این کاربری از ۳۷۱۲۰/۴۹ هکتار در سال ۱۹۸۶ به ۵۷۰۱۱/۷۸ هکتار در سال ۲۰۰۰ تغییر یافته است. مناطق مسکونی با افزایش ۴۷/۱۳۸ درصدی سومین کاربری است که طی این بازه زمانی افزایش مساحت یافته است. مساحت این کاربری از ۱۲۸۹/۵۳ هکتار در سال ۱۹۸۶ به ۱۸۹۷/۳۹ هکتار در سال ۲۰۰۰ افزایش یافته است. همچنین، در این بازه زمانی مساحت کاربری‌های آب، جنگل پهنه برگ متراکم، جنگل پهنه برگ تُنک و مرتع کاهش یافته است. بیشترین آهنگ کاهشی مربوط به کاربری‌های جنگل پهنه برگ تُنک و جنگل پهنه برگ متراکم با کاهش ۵۰/۱۳ و ۹/۵۷ درصدی است. بر اساس جدول‌های ۳ و ۴ در بازه زمانی ۲۰۱۵—۲۰۰۰ روند افزایشی کاربری‌های مسکونی، جنگل سوزنی برگ و زراعت ادامه پیدا کرده است. در این بازه زمانی مساحت جنگل پهنه برگ تُنک نیز ۷/۲۸ درصد افزایش یافته است که علت آن مربوط به تغییر انواع دیگر کاربری اراضی از جمله کاربری جنگل پهنه متراکم به این نوع کاربری است. در این بازه زمانی بیشترین افزایش وسعت مربوط با کاربری مسکونی به مقدار ۴۰/۱۴ درصد است که در سال ۲۰۱۵ مساحتی برابر ۲۶۵۹/۰۸ هکتار از حوضه را می‌پوشاند که مقدار درخور توجهی است. گسترش طبقه آب و زراعت به عنوان دومین و سومین کاربری در حال افزایش طی دوره ۲۰۰۰ تا ۲۰۱۵ معادل ۲۸/۲۱ و ۲۲/۱۷ درصد است. همچنین، مساحت کاربری‌های جنگل پهنه برگ متراکم و مرتع همانند بازه زمانی ۱۹۸۶ تا ۲۰۰۰ کاهش یافت. آهنگ کاهشی این تغییرات برای کاربری‌های یادشده به ترتیب ۱۵/۲۵ و ۲۲/۸۰ درصد است. به طور کلی، در کاربری اراضی سال ۱۹۸۶ بیشترین مساحت حوضه به کاربری‌های جنگل پهنه متراکم، زراعت و مرتع و در سال ۲۰۰۰ به کاربری‌های زراعت، مرتع و جنگل پهنه متراکم اختصاص دارد. در نقشه کاربری سال ۲۰۱۵ نیز بخش زراعت بهشت افزایش یافته و کاربری مرتع دومین کاربری حوضه از نظر مساحت است.

بیشترین مساحت حوضه را (۴۹/۱۹ درصد) را شامل می‌شود. همچنین، کاربری آب (استخراج‌های رویاز) با رشد ۲۲/۶۱ درصدی در سال ۲۰۲۵ مساحتی حدود ۲۵/۸۲ هکتار را شامل می‌شود. همچنین، جنگل پهنه برگ تُنک و جنگل سوزنی برگ به ترتیب رشد ۶/۲۹ و ۵/۸۲ درصدی خواهند داشت. طی دوره آتی ۲۰۲۵ بیشترین کاهش مساحت مربوط به طبقه جنگل پهنه برگ متراکم است که ۳۳/۸۲ درصد از مساحت آن کاسته می‌شود (۱۱۶۰/۷۳ هکتار) و در سال ۲۰۲۵ مساحت آن به ۲۲۷۰/۹۵۲ هکتار می‌رسد. همچنین، طبقه مرتع نیز ۲۱/۰۷۴ درصد کاهش می‌یابد و مساحت آن ۲۲/۷۲ درصد حوضه را شامل خواهد شد.

همچنین، در شکل ۳ نقشهٔ پیش‌بینی شده برای دوره‌های آتی ۲۰۲۵ و ۲۰۴۰ نشان داده شده است. نتایج به دست‌آمده از آشکارسازی تغییرات پوشش برای سال‌های آتی به گونه‌ای است که در صورت ادامهٔ روند موجود در منطقه مساحت طبقات آب، جنگل سوزنی برگ، زراعت و مناطق مسکونی طی هر دو دوره آتی افزوده خواهد شد و مساحت کاربری‌های جنگل پهنه برگ متراکم، جنگل پهنه برگ تُنک و مرتع کم خواهد شد. نتایج به دست‌آمده از پیش‌بینی کاربری اراضی برای دوره آتی ۲۰۲۵ نشان می‌دهد با ادامهٔ روند موجود بیشترین افزایش مربوط به طبقه مسکونی به میزان ۶۲۰/۰۳ درصد است و میزان مساحت آن به ۳۰۷۴/۳۳ هکتار خواهد رسید. همچنین، طبقهٔ زراعت با رشد ۳۲/۸۶۷ درصدی در سال ۲۰۲۵



شکل ۲. نقشهٔ کاربری اراضی / پوشش زمین به دست‌آمده از پردازش تصاویر ماهواره‌ای سال‌های ۱۹۸۶، ۲۰۰۰ و ۲۰۱۵ میلادی

به ۱۹۵۲۲/۳۹ هکتار در سال ۲۰۴۰ می‌رسد که بیان‌کنندهٔ کاهش ۴۳/۱۱ درصدی است. همچنین، بر اساس پیش‌بینی مدل کاربری جنگل پهنه برگ تُنک و مرتع به ترتیب ۲۹/۸۷ و ۲۷/۵۳ درصد کاهش خواهد یافت. نتایج به دست‌آمده در این پژوهش با نتایج Komaki و Karimi [۱۹]؛ Sang و Heidarizadi [۱۸]؛ Chang و Chang [۲۲] و Farajollahi و همکارانش [۲۳] در توانایی مدل مارکوف برای پیش‌بینی تغییرات پوشش اراضی، هم‌سو است و با نتایج و افزایش مناطق مسکونی و زراعت را برای دوره آتی، جنگلی، مرتع و افزایش اراضی همچنان که در شکل ۳ نشان داده شده است. نتایج به دست‌آمده از آشکارسازی تغییرات پوشش برای سال‌های آتی به گونه‌ای است که در صورت ادامهٔ روند موجود در منطقه مساحت طبقات آب، جنگل سوزنی برگ، زراعت و مناطق مسکونی طی هر دو دوره آتی افزوده خواهد شد و مساحت کاربری‌های جنگل پهنه برگ متراکم، جنگل پهنه برگ تُنک و مرتع کم خواهد شد. نتایج به دست‌آمده از پیش‌بینی کاربری اراضی برای دوره آتی ۲۰۲۵ نشان می‌دهد با ادامهٔ روند موجود بیشترین افزایش مربوط به طبقهٔ مسکونی به میزان ۶۲۰/۰۳ درصد است و میزان مساحت آن به ۳۰۷۴/۳۳ هکتار خواهد رسید. همچنین، طبقهٔ زراعت با رشد ۳۲/۸۶۷ درصدی در سال ۲۰۲۵

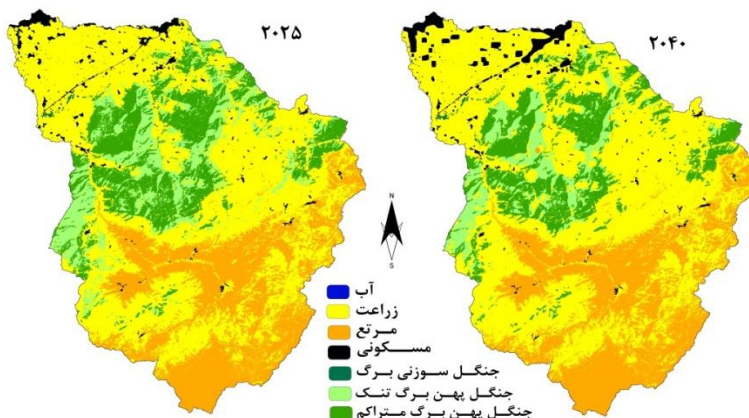
روند تغییرات طبقات مختلف کاربری طی دوره آتی ۲۰۴۰ نیز تا حدود زیادی مانند دورهٔ پیش‌بینی آتی ۲۰۲۵ است. با ادامهٔ روند موجود در منطقهٔ طبقهٔ مسکونی به شدت افزایش می‌یابد و آهنگ سعودی ۱۲۹/۴۴ درصدی دارد و مساحت آن به ۴۳۵۳/۳۴ هکتار می‌رسد. در این سال بیش از نیمی از مساحت حوضهٔ اختصاص به کاربری زراعت خواهد داشت و با رشد ۵۱/۳۲ درصدی مساحت آن به ۸۶۲۷۱/۱۱ هکتار می‌رسد. همچنین، مساحت کاربری جنگل سوزنی برگ و آب نیز به ترتیب ۴۰/۱۹ و ۲۳/۳۷ درصد افزایش می‌یابد. بیشترین میزان کاهشی مربوط به کاربری جنگل پهنه برگ متراکم است که احتمالاً مساحت آن از ۲۶۴۹۳/۰۱ هکتار در سال

جدول ۳. روند تغییرات کاربری اراضی طی دوره مطالعاتی

کاربری اراضی پیش‌بینی شده										کاربری							
مساحت ۲۰۴۰			مساحت ۲۰۲۵			مساحت ۲۰۱۵			مساحت ۲۰۱۵			مساحت ۲۰۰۰			مساحت ۱۹۸۶		
درصد	هکتار	درصد	هکتار	درصد	هکتار	درصد	هکتار	درصد	هکتار	درصد	هکتار	درصد	هکتار	درصد	هکتار	درصد	هکتار
۰/۰۱۶۹	۲۵/۹۸	۰/۰۱۶۸	۲۵/۸۲	۰/۰۱۲۶	۱۹/۴۳	۰/۰۱۷۵	۲۷/۰۰	۰/۰۱۳۷	۲۱/۰۶	۰/۰۱۳۹	۲۱/۲۳	آب					
۰/۰۲۳۶۶	۳۶۴/۳۸	۰/۱۷۸۶	۲۷۵/۰۵	۰/۲۹۷۸	۴۵۸/۶۰	۰/۱۷۰۹	۲۶۳/۱۶	۰/۱۶۸۸	۲۵۹/۹۱	۰/۰۱۵۹	۱۳۲/۴۹	جنگل سوزنی					
۱۲/۶۷۷	۱۹۵۲۲/۳۹	۱۴/۷۴۷	۲۲۷۰/۹/۵۲	۱۹/۵۰۶	۳۰۰۳۸/۱۳	۱۷/۲۰۴	۲۶۴۹۳/۰۱	۲۲/۲۸۴	۳۴۳۱۶/۲۵	۲۴/۶۴۱	۳۷۹۴۵/۴۶	پهن متراکم					
۷/۳۵۳	۱۱۳۲۲/۷۰	۱۱/۱۴۴	۱۷۱۶۱/۳۴	۶/۰۷۳	۹۳۵۱/۳۸	۱۱/۲۴۷	۱۷۳۱۹/۴۹	۱۰/۴۸۴	۱۶۱۴۴/۶۹	۲۱/۰۲۱	۳۲۳۷۱/۵۷	پهن تُنک					
۵۶/۰۲۲	۸۶۲۷۱/۱۱	۴۹/۱۹۰	۷۵۷۴۹/۷۸	۴۳/۰۴۲	۶۶۲۸۲/۳۵	۴۵/۲۳۱	۶۹۶۵۲/۹۹	۳۷/۰۲۲	۵۷/۱۱۷۸	۲۴/۱۰۵	۳۷۰۱۲/۴۹	زراعت					
۲۰/۰۸۶۷	۳۲۱۳۴/۰۹	۲۲/۷۷۷	۳۴۹۹۸/۰۹	۲۹/۹۲۶	۴۶۰۸۴/۹۵	۲۴/۴۰۳	۳۷۸۷۹/۱۸	۲۸/۷۹۵	۴۴۳۴۲/۸۶	۲۹/۳۶۵	۴۵۲۲۱/۰۶	بایر- مرتع					
۲/۸۲۷	۴۳۵۳/۳۴	۱/۹۹۶	۳۰۷۴/۳۳	۱/۱۴۲	۱۷۵۹/۰۹	۱/۷۲۷	۲۶۵۹/۰۸	۱/۲۳۲	۱۸۹۷/۳۹	۰/۸۳۷	۱۲۸۹/۵۳	مسکونی					
۱۰۰	۱۵۳۹۹۳/۹	۱۰۰	۱۵۳۹۹۳/۹	۱۰۰	۱۵۳۹۹۳/۹	۱۰۰	۱۵۳۹۹۳/۹	۱۰۰	۱۵۳۹۹۳/۹	۱۰۰	۱۵۳۹۹۳/۹	مجموع کلای					
-	-	-	-۰/۷۹۹۳	-	-۰/۹۶۱۲	-	-۰/۹۶۵۵	-	-۰/۸۶۵۵	-	-۰/۹۵۵۳						

جدول ۴. درصد تغییرات مساحت کاربری اراضی طی دوره مطالعاتی مختلف

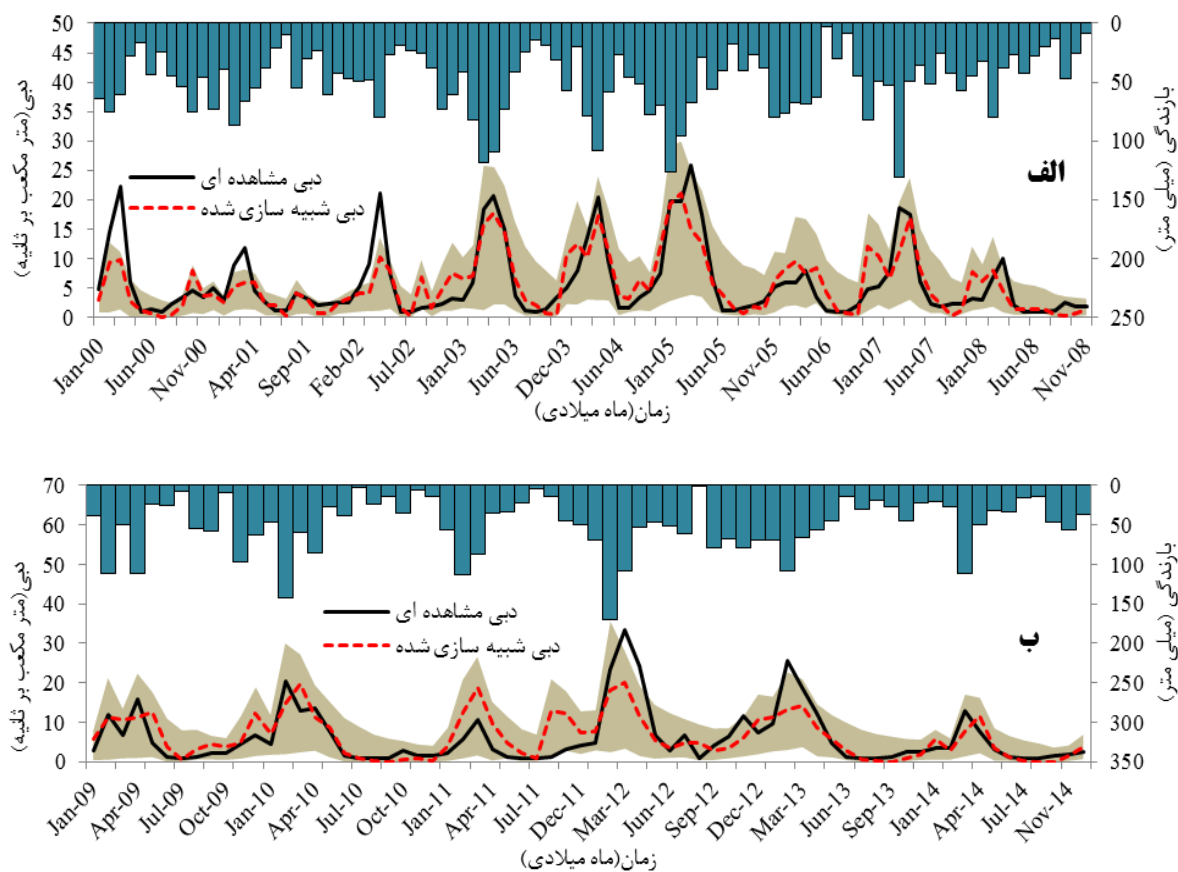
کاربری اراضی					
۲۰۰۰-۲۰۴۰	۲۰۲۵-۲۰۰۰	۲۰۱۵-۱۹۸۶	۲۰۱۵-۲۰۰۰	۲۰۰۰-۱۹۸۶	
۲۳/۳۷۴	۲۲/۶۱۸	۲۶/۵۸۲	۲۸/۲۰۵	-۱/۲۶۶	آب
۴۰/۱۹۵	۵/۸۲۳	۹۸/۶۲۹	۱/۲۵۰	۹۶/۱۷۶	جنگل سوزنی
-۴۳/۱۱۱	-۳۳/۸۲۳	-۳۰/۱۸۱	-۲۲/۷۹۷	-۹/۵۶۴	جنگل پهن متراکم
-۲۹/۸۶۷	۶/۲۹۷	-۴۶/۴۹۸	۷/۲۷۷	-۵۰/۱۲۷	جنگل پهن تُنک
۵۱/۳۲۲	۳۲/۸۶۷	۸۷/۶۴۰	۲۲/۱۷۳	۵۳/۵۸۶	زراعت
-۲۷/۵۳۳	-۲۱/۰۷۴	-۱۶/۸۹۹	-۱۵/۲۵۳	-۱/۹۴۲	بایر- مرتع
۱۲۹/۴۳۸	۶۲/۰۲۹	۱۰۶/۲۰۵	۴۰/۱۴۴	۴۷/۱۳۸	مسکونی



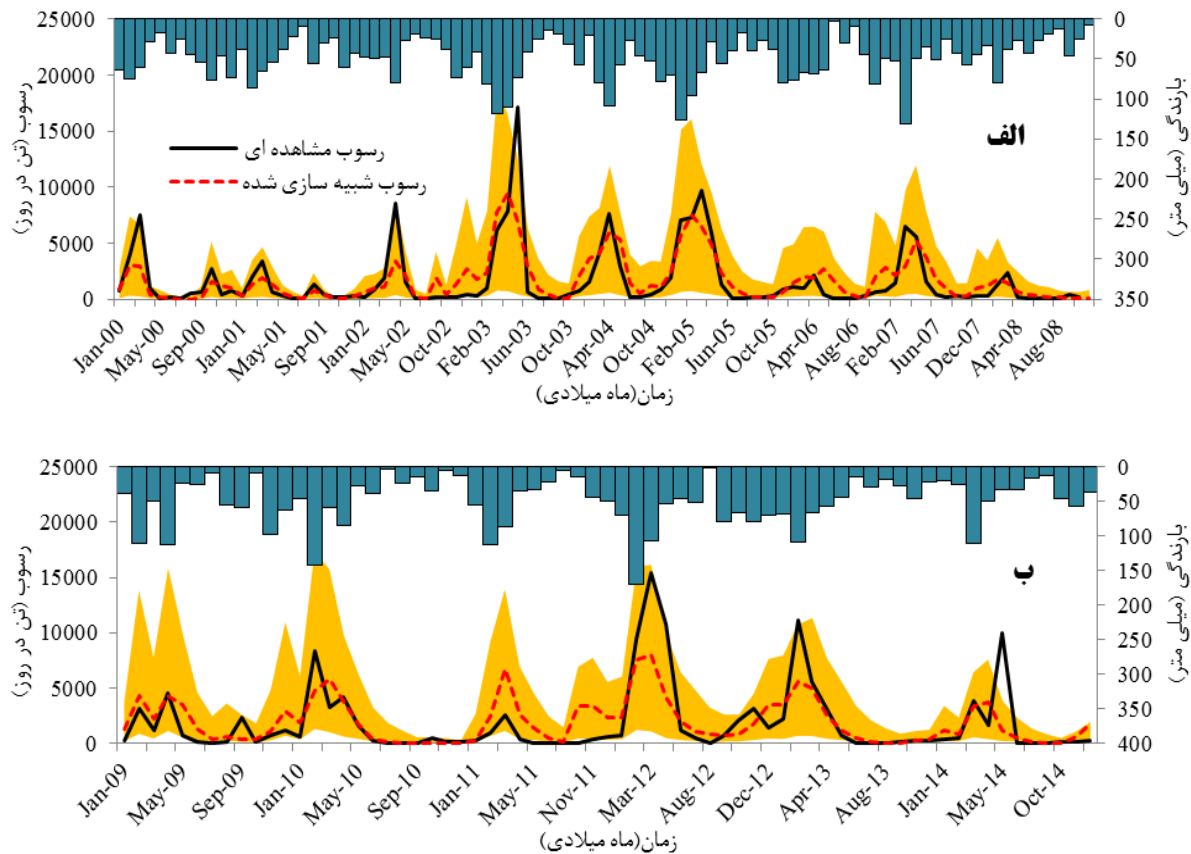
شکل ۳. نقشه کاربری اراضی / پوشش زمین شبیه‌سازی شده در سال‌های ۲۰۲۵ و ۲۰۴۰ میلادی

تیلآباد طی دوره واسنجی دبی، مقدار P-factor برابر ۰/۹۲ و R-factor برابر ۱/۳۷ است. مقادیر این دو فاکتور برای دوره اعتبارسنجی به ترتیب ۰/۹۴ و ۱/۵۴ به دست آمدند. همچنین، نتایج شبیه‌سازی رسوبر نشان داد مقادیر ضرایب R^2 ، ENS و RMSE برای دوره واسنجی به ترتیب ۰/۶۷، ۰/۶۵ و ۱۶۴۳/۲ است. مقادیر این ضرایب برای دوره اعتبارسنجی نیز ۰/۶۱، ۰/۵۷ و ۴/۴- به دست آمد. همچنین، درجه عدم قطعیت مدل توسط دو فاکتور R-factor و P-factor برابر رسوبر طی دوره واسنجی ۰/۹۷ و ۱/۵۱ و برای دوره اعتبارسنجی ۰/۹۱ و ۱/۴۳ به دست آمد (جدول ۴) که با توجه به دامنه‌های تفسیری استفاده شده در تحقیقات گذشته، قابل قبول ارزیابی شد.

شبیه‌سازی رواناب و رسوبر خروجی از حوضه طی دوره واسنجی و صحتسنجی نتایج واسنجی و صحتسنجی مدل برای شبیه‌سازی رواناب و رسوبر در شکل‌های ۴ و ۵ در مقیاس زمانی ماهانه نشان داده شده است. همچنین، در جدول ۵ شاخص‌های ارزیابی دقیق مدل در شبیه‌سازی رواناب و رسوبر ماهانه حوضه آبخیز تیلآباد ارائه شده است. شبیه‌سازی دبی ماهانه حوضه آبخیز تیلآباد در دوره واسنجی نشان داد مقدار ضریب همبستگی (R^2) برابر ۰/۷۰، ضریب راندمان نش- ساتکلیف (E_{NS}) ۰/۷۱، درصد اریب (PBIAS) ۳/۹ و ریشه میانگین مربعات خطأ (RMSE) ۳/۳۲ است. مقادیر این ضرایب برای دوره صحتسنجی به ترتیب ۰/۶۱، ۰/۶۱ و ۴/۳۶ به دست آمدند. همچنین، درجه عدم قطعیت مدل توسط دو فاکتور R-factor و P-factor محاسبه شد. برای حوضه آبخیز



شکل ۴. سری زمانی منتخب دبی ماهانه شبیه‌سازی شده و مشاهداتی ایستگاه هیدرومتری ارازکوسه در مرحله واسنجی (الف) و صحتسنجی (ب)



شکل ۵. سری زمانی منتخب رسوب ماهانه شبیه‌سازی شده و مشاهداتی ایستگاه هیدرومتری ارازکوسه در مرحله واسنجی (الف) و صحتسنجی (ب)

داد کارایی مدل SWAT در شبیه‌سازی دی روآتاب بیشتر از شبیه‌سازی بار رسوب است که با نتایج تحقیقات قبلی Zuo و Bieger و همکارانش [۲]؛ Lo و Huang [۱۱]؛ و Gebremicael و همکارانش [۱۲]؛ Ngo و همکارانش [۱۴] و همکارانش [۲۵] دارد. دلایل ضعف مدل در شبیه‌سازی ضعیفتر رسوب نسبت به روآتاب کمبود داده‌های مشاهداتی رسوب برای واسنجی مناسب پارامترها رسوب و همچنین ضعف مدل در شبیه‌سازی جریان‌های حداکثر در حوضه مطالعه شده است. یکی دیگر از دلایل ضعف مدل در شبیه‌سازی نکردن رسوب به ناتوانی مدل در شبیه‌سازی بسیار خوب جریان مرتبط است. از علت‌های دیگر ضعف مدل صحت کم داده‌های رسوب استفاده شده و مهم‌تر از همه پیوسته‌نبودن اطلاعات رسوب اشاره کرد.

نتایج آنالیز حساسیت نیز نشان داد حساس‌ترین پارامترهای مؤثر بر دبی جریان CH_N2 (ضریب مانینگ رودخانه اصلی)، REVAPMN (کمترین مقدار ذخیره آب در سفره که برای شروع تبخیر آب زیرزمینی از طریق مویینگی یا

همان طور که در شکل‌های ۴ و ۵ نشان داده شده است در هر دو دوره واسنجی و صحتسنجی انطباق زیادی بین مقادیر اوج بارندگی و دبی و رسوب مشاهده‌ای و شبیه‌سازی شده وجود دارد و در ایام بدون بارندگی مقادیر شبیه‌سازی شده صفر است که علت آن مربوط به نادیده‌گرفتن جریان آب پایه و آب زیرزمینی برای حوضه آبخیز تیل‌آباد توسط مدل است. همچنین، در جدول ۵ مقادیر متوجه روآتاب و رسوب و مقادیر انحراف معیار طی هر دو دوره واسنجی و صحتسنجی نشان داده شده است. مقادیر زیاد ضرایب R^2 و E_{NS} و مقادیر کم PBIAS و RMSE طی هر دو دوره واسنجی و صحتسنجی نشان دهنده دقت زیاد مدل SWAT طی هر دو دوره واسنجی و صحتسنجی است. مقادیر نسبتاً زیاد p-factor و کم مقادیر R_factor در این حوضه در پایه زمانی ماهانه بیان کننده دقت زیاد مدل در شبیه‌سازی و عدم قطعیت کم پیش‌بینی هاست به طوری که بیشتر داده‌های شبیه‌سازی شده توسط مدل در باند تخمین عدم قطعیت ۹۵ درصد قرار گرفته‌اند. به‌طور کلی، نتایج نشان

هر کیلومتر از بازه)، PRF (فاکتور تعدیل میزان اوج برای re-entrainment روندیابی رسوب در کanal)، SPEXP (ضریب خطی برای روندیابی رسوب کanal) و USLE_K (فاکتور فرسایش پذیری در معادله USLE) هستند.

تغذیه سفره عمیق لازم است)، SLSUBBSN (متوسط طول شبیه زمین در هر HRU) و SURLAG (ضریب تأخیر رواناب سطحی) و حساس‌ترین پارامترهای مؤثر بر رسوب، پارامترهای (ضریب ثابت زمان ذخیره برای جریان حداقل برای CH_COV

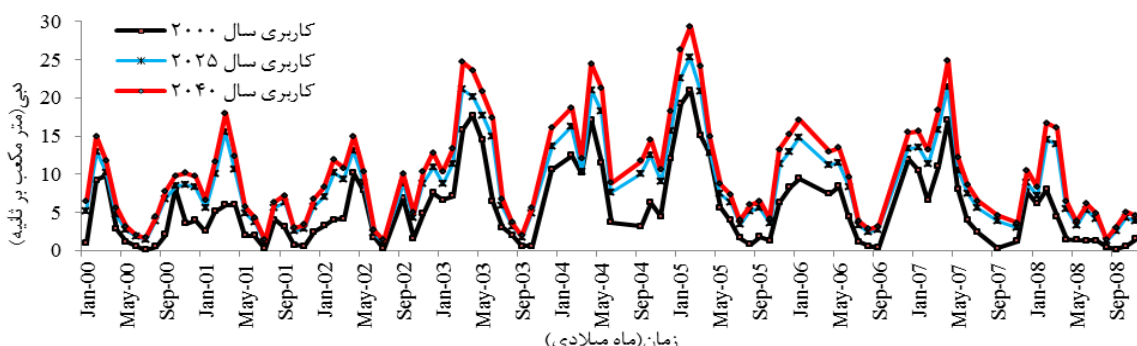
جدول ۵. ضرایب آماری ارزیابی دقت مدل در شبیه‌سازی رواناب و رسوب ماهانه طی دوره‌های واسنجی و صحبت‌سنگی

دوره	شاخص										
		انحراف معیار شیوه‌سازی	انحراف معیار مشاهداتی	انحراف معیار مقادیر شیوه‌سازی	میانگین مقادیر مشاهدات	میانگین مقادیر مشاهدات	PBIAS	RMSE	r_factor	p_factor	R2
۴/۹۴	واسنجی دی	۶۰۳	۵۰۴	۵۷۹	۳/۹	۳/۳۲	۱/۳۷	۰/۹۲	۰/۷۰	۰/۷۱	۰/۷۱
۵/۴۲	اعتبارسنجی دی	۶۸۸	۶۳۷	۶۱۳	-۲/۱	۴/۳۶	۱/۵۴	۰/۹۴	۰/۶۱	۰/۶۱	۰/۶۱
۱۹۶۴/۷۹	واسنجی رسوب	۲۷۷۱/۳۲	۱۷۰۱/۲۱	۱۶۳۵/۲۱	-۰/۸	۱۶۴۳/۷	۱/۵۱	۰/۹۷	۰/۶۷	۰/۶۵	۰/۶۵
۱۹۶۹/۳۱	اعتبارسنجی رسوب	۳۱۵۵/۶۶	۱۹۴۳/۲۹	۱۸۶۱/۰۲	-۴/۴	۲۰۷۲/۷	۱/۴۳	۰/۹۱	۰/۶۱	۰/۵۷	۰/۵۷

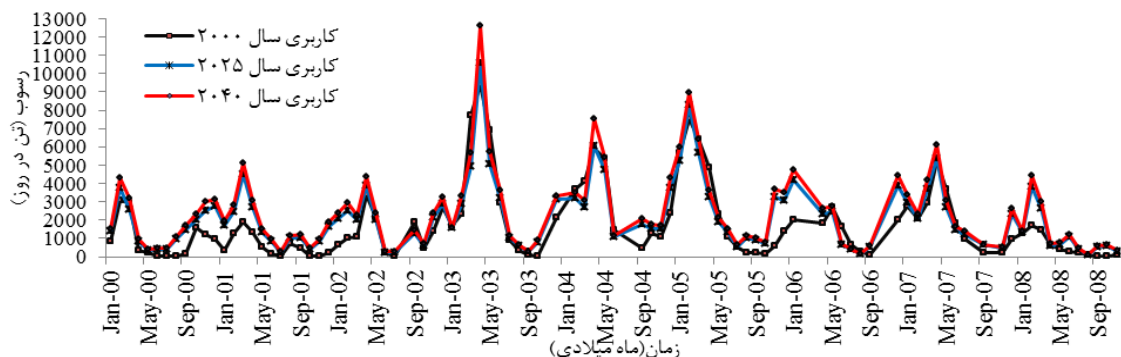
خاک، تبخیر و تعرق واقعی و مقادیر متوسط روزانه و ماهانه رواناب و رسوب برای هر یک از کاربری‌هاست. در شکل‌های ۶ و ۷ هیدروگراف رواناب و رسوب متوسط ماهانه برای هر یک از کاربری‌ها و در جدول ۶ نیز خروجی‌های بوجود‌آمده در گزینه‌های مختلف مدیریتی ارائه شده است. با نگاهی اجمالی به شکل‌های ۶ و ۷ و جدول ۶ می‌توان دریافت که مقادیر رواناب و رسوب طی هر دو دوره آتی افزایش می‌یابد که این روند افزایشی در دوره آتی دورتر (سال ۲۰۴۰) شدیدتر است. همان‌گونه که ملاحظه می‌شود، تغییر کاربری اراضی از سال ۲۰۰۰ تا سال ۲۰۲۵ در منطقه مطالعه شده موجب افزایش دبی متوسط روزانه به میزان ۵۹/۴۷ درصد و افزایش رسوب متوسط روزانه به میزان ۲۴/۵۱ درصد می‌شود. این افزایش دبی متوسط روزانه برای سال ۲۰۴۰ نسبت به سال ۲۰۰۰ شدیدتر است و برابر ۸۵/۹۱ درصد است. همچنین، مقادیر رسوب متوسط روزانه نیز به میزان ۴۲/۲۳ درصد نسبت به سال ۲۰۰۰ افزایش نشان می‌دهد.

شبیه‌سازی رواناب و رسوب تحت تأثیر کاربری اراضی پیش‌بینی شده

در این مطالعه علاوه بر نقشه کاربری اراضی سال ۲۰۰۰ به عنوان کاربری فعلی که با استفاده از آن مدل واسنجی و اعتبارسنجی شد، برای دو دوره دیگر نیز نقشه‌های کاربری اراضی با استفاده از تصاویر ماهواره‌ای تهیه شد و به مدل معرفی شد. به این صورت پس از اطمینان از قابلیت مدل در شبیه‌سازی دبی حوضه آبخیز تیل آباد با ثابت درنظرگرفتن همه پارامترها به غیر از کاربری اراضی مدل بار دیگر برای شرایط کاربری‌های جدید اجرا شد و تغییرات رواناب و رسوب خروجی مدل با رسم هیدروگراف مربوط به آن بررسی شد و در هر حالت رواناب و رسوب شبیه‌سازی شده با شاهد (شبیه‌سازی شده در کاربری فعلی) مقایسه شد. متغیرهای بررسی شده شامل رواناب سطحی، جریان زیر قشری، جریان برگشتی از آبخوان سطحی، آب گذری به آبخوان سطحی و نفوذپذیری، آب گذری به آبخوان عمیق، مقدار کل آب (مجموع رواناب سطحی، جریان زیر قشری و زیرزمینی و جریان برگشتی از آبخوان سطحی)، آب گذری آب از داخل



شکل ۶. مقایسه بین رواناب شبیه‌سازی شده طی دوره‌های آتی و شاهد



شکل ۷. مقایسه بین رسوب شبیه‌سازی شده طی دوره‌های آتی و شاهد

جدول ۶. مقایسه اثر کاربری اراضی پیش‌بینی شده طی دوره آتی بر مؤلفه‌های مختلف چرخه هیدرولوژیکی

نگذیله آبخوان عمیق (آب گذری به آبخوان عمیق) (میلی‌متر)	جریان برگشتی از آبخوان سطحی (میلی‌متر)	جریان آب زیرزمینی (میلی‌متر)	جریان زیرقشری (میلی‌متر)	رواناب سطحی (میلی‌متر)	بارندگی متوسط (میلی‌متر)	مؤلفه کاربری
۷۲/۲۸	۳۳/۶	۴۲/۹۹	۱۳۷/۴۴	۵۱/۰۷	۵۹۷/۱	کاربری ۲۰۰۰ سال
۳۶/۱۲	۴/۱۱	۱۵/۳۸	۲۶۵/۹۸	۸۳/۸۹	۵۹۷/۱	کاربری ۲۰۲۵ سال
-۵۰/۰۳	-۸۷/۷۷	-۶۴/۲۳	۹۳/۵۲	۶۴/۲۶	.	درصد تغییرات
۲۷/۰۹	۳/۵۳	۹/۸۵	۲۸۱/۷۲	۸۶/۹۷	۵۹۷/۱	کاربری ۲۰۴۰ سال
-۶۲/۵۲	-۸۹/۴۹	-۷۷/۰۹	۱۰۴/۹۸	۷۰/۳۰	.	درصد تغییرات
رسوب متوسط روزانه (تن در روز)	دبی متوسط روزانه دترمکعب بر ثانیه)	تبخیر و تعرق واقعی (میلی‌متر)	تراوش یا آب گذری آب از داخل خاک (میلی‌متر)	آب گذری به آبخوان سطحی و نفوذپذیری (میلی‌متر)	مقدار کل آب مؤلفه کاربری (میلی‌متر)	
۱۷۰/۱/۲۱	۵/۵۴	۱۵۸/۲	۲۴۹/۵۵	۲۶۱/۹۹	۲۳۱/۳۷	کاربری ۲۰۰۰ سال
۲۱۱۸/۲۷	۸/۸۴	۱۶۷/۸	۷۸/۶	۷۹/۳	۳۶۴/۹۱	کاربری ۲۰۲۵ سال
۲۴/۵۲	۵۹/۴۷	۶/۰۷	-۶۸/۵۰	-۶۹/۷۳	۵۷/۷۲	درصد تغییرات
۲۴۱۹/۷۶	۱۰/۳۱	۱۶۹/۲	۵۸/۸۱	۵۹/۴۷	۳۷۸/۲۳	کاربری ۲۰۴۰ سال
۴۲/۲۴	۸۵/۹۱	۶/۹۵	-۷۶/۴۳	-۷۷/۳۰	۶۳/۴۷	درصد تغییرات

جریان آب زیرزمینی و نگذیله آبخوان عمیق و آب گذری داشت. کاهش پوشش به واسطه تخریب سبب افزایش رواناب از طریق کاهش مقدار نفوذپذیری در حوضه مطالعه شده می‌شود. تغییر رواناب طی سال با تغییر تعادل آبی سبب افزایش خطر و قایعی مانند سیلابی شدن و خشکسالی در حوضه آبخیز می‌شود، بنابراین برای غلبه بر این مشکلات باید که مدیریتی منظم و برنامه‌ریزی شده اعمال شود.

نتایج این تحقیق نشان می‌دهد طی دوره‌های آتی با تغییر نوع کاربری اراضی رواناب سطحی، مقدار کل آب، رسوب، جریان زیرقشری و تبخیر و تعرق افزایش می‌یابد و به عکس جریان آب زیرزمینی، جریان برگشتی از آبخوان سطحی، نگذیله آبخوان عمیق، آب گذری به آبخوان سطحی و نفوذپذیری و آب گذری آب از داخل خاک کاهش می‌یابد. یکی از دلایل افزایش رواناب را می‌توان کاهش نفوذپذیری،

[۸] در خصوص تغییر کاربری از جنگل و مرتع به کاربری کشاورزی و Wang و همکارانش [۱۰] در خصوص اثر تبدیل اراضی جنگلی به اراضی مرتقی به منظور افزایش رواناب، و رسوب، کاهش آب زیرزمینی، کاهش نفوذپذیری، کاهش آب‌گذری و کاهش جریان پایه مطابقت دارد. همچنین با نتایج مطالعات Khoi و Suetsugi [۶] که بیان کردند کاهش اراضی جنگلی سبب افزایش تبخیر و تعرق می‌شود، مطابقت دارد؛ و با نتایج Wang و همکارانش [۱۰] در تبدیل اراضی جنگلی به اراضی مرتقی، که موجب افزایش تبخیر و تعرق شد، مطابقت ندارد.

ارزیابی شاخص‌های مختلف هیدرولوژیکی

نتایج مربوط به ارزیابی سری‌های زمانی رواناب و رسوب بر اساس شاخص‌های مختلف هیدرولوژیکی ارائه شده در جدول ۲ در شکل‌های ۸ و ۹ نشان داده شده است. بر اساس نتایج ارائه شده مقادیر درصد اریب ضریب رواناب (*SF Coef*), درصد اریب میانگین مقادیر (*BiasRR*), درصد اریب مقادیر جریان در قطاع بالا با اریب جریان بالا (*BiasHV*) و درصد اریب قطاع میانی سطوح جریان یا اریب میانه جریان (*BiasFMM*) برای هر دو متغیر رواناب و رسوب طی هر دو دوره آتی نسبت به دوره پایه افزایش یافتند. به عکس مقادیر شاخص‌های درصد اریب چولگی رواناب (*SF Skew*), درصد اریب تغییرپذیری رواناب (*SF CV*), درصد اریب شبیه قطاع میانی (*BiasFDcmidslope*) و درصد اریب مقادیر جریان در قطاع پایین یا اریب جریان پایین (*BiasFLV*) در دوره‌های آتی برای هر دو متغیر رواناب و رسوب نسبت به دوره پایه کاهش یافتند.

SF Coef بیان کننده تغییر ضریب رواناب و *BiasRR* بیان کننده درصد اریب میانگین مقادیر سری زمانی دوره آتی نسبت به دوره پایه یا به بیانی بیان کننده اختلاف در میانگین‌ها و بالانس‌هاست [۲۱]. مقدار این شاخص‌ها برای رواناب در سال ۲۰۲۵ نسبت به دوره پایه ۵۹/۴۸ درصد و برای سال ۲۰۴۰ برابر ۸۵/۹۲ درصد به دست آمد. همچنین، مقادیر این شاخص‌ها برای رسوب در سال ۲۰۲۵ برابر ۲۴/۵۲ درصد و برای سال ۲۰۴۰ برابر ۴۲/۲۴ درصد به دست آمد که بیان کننده آن است که مقادیر میانگین رواناب و رسوب در دوره‌های آتی نسبت به دوره پایه به اندازه مقادیر یادشده افزایش یافته است. مقادیر درصد اریب تغییرپذیری رواناب

میزان تغییرات طی سال ۲۰۴۰ نسبت به سال ۲۰۲۵ شدیدتر است. به طوری که رواناب سطحی در سال ۲۰۲۵ و ۲۰۴۰ نسبت به سال پایه به ترتیب ۶۴/۲۶ و ۷۰/۳۰ درصد افزایش می‌باشد. همچنین، مقدار کل آب (مجموع رواناب سطحی، جریان زیرقشری و زیرزمینی و جریان برگشتی از آبخوان سطحی) نیز به ترتیب ۵۷/۷۲ و ۶۳/۴۷ درصد نسبت به دوره پایه بیشتر شده است. جریان زیرقشری نیز به ترتیب ۶/۹۵ و ۱۰۴/۹۸ درصد و تبخیر و تعرق نیز به ترتیب ۹۳/۵۲ و ۶۹/۷۳ درصد بیشتر شده است. یکی از دلایل افزایش میزان تبخیر و تعرق را می‌توان به افزایش کاربری آب (استخراج‌های رو باز) در منطقه و کاهش کاربری اراضی جنگلی پهن‌برگ و مرتع اشاره کرد، در این صورت سطح بیشتری در معرض نور مستقیم خورشید قرار می‌گیرد و میزان تبخیر و تعرق واقعی بیشتر می‌شود. با کاهش میزان نفوذپذیری و آب‌گذری آب از داخل خاک به میزان ۶۸/۵۰ درصد و ۶۹/۷۳ درصد برای سال ۲۰۲۵ و کاهش میزان نفوذپذیری و آب‌گذری آب از داخل خاک به میزان ۷۶/۴۳ و ۷۷/۳۰ درصد برای سال ۲۰۴۰ میزان جریان آب زیرزمینی، تغذیه آبخوان عمیق و جریان برگشتی از آبخوان سطحی نیز کاهش می‌باشد. میزان آهنگ کاهشی برای مؤلفه‌های یادشده برای سال ۲۰۲۵ به ترتیب ۵۰/۰۳ و ۸۷/۷۷ و ۶۴/۲۲ برابر ۲۰۴۰ درصد و برای سال ۲۰۴۰ به ترتیب ۸۹/۴۹ و ۷۷/۰۹ درصد است.

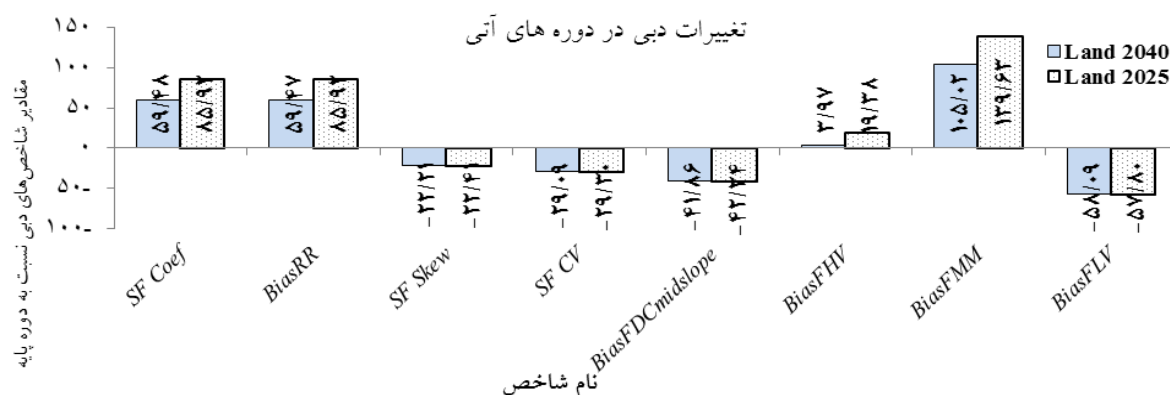
نتایج مربوط به شبیه‌سازی رواناب و رسوب تحت کاربری اراضی مختلف در این مطالعه در راستای مطالعات Bieger و همکارانش [۲]؛ Anaba و همکارانش [۶]؛ Lo Huang و [۱۱]؛ Zuo و همکارانش [۱۲]؛ Amin و Ngo Aghabeghi و همکارانش [۱۳] و Vafakhah و همکارانش [۱۴] و همکارانش [۲۶] است که بیان کردند با تغییر کاربری اراضی در جهت قهقرا (افزایش زراعت، مناطق مسکونی و کاهش مرتع و اراضی جنگلی) میزان رواناب سطحی و رسوب نیز بیشتر می‌شود. همچنین، نتایج این تحقیق با نتایج مطالعات محققان مختلف درباره اثر تغییر نوع کاربری اراضی بر مؤلفه‌های مختلف سیکل هیدرولوژیکی از جمله مطالعات Briones و همکارانش [۴] در خصوص تأثیر تغییر کاربری اراضی از جنگلی و مرتقی به زراعت؛ Palamuleni و همکارانش [۵] در خصوص اثر تغییر کاربری از جنگل به مرتع، زراعت و مناطق مسکونی؛ Khoi و Suetsugi [۶] در خصوص اثر کاهش اراضی جنگلی؛ Salmani و همکارانش

سال ۲۰۲۵ برابر ۳/۹۷ و در سال ۲۰۴۰ برابر ۱۹/۳۸ درصد است. همچنین، برای رسوب برای هر دو مقطع زمانی آتی به ترتیب ۵۳/۲۷ و ۸۱/۲۶ درصد است. مقادیر مثبت این شاخص نشان می‌دهد در دوره آتی نسبت به دوره پایه پایه مقادیر دبی و رسوب‌ها شدید و سیلابی افزایش یافته است یا به بیانی دبی‌ها افزایش یافته است. افزایش مقادیر دبی‌های سیلابی سبب افزایش شدید بار رسوبی شده است به طوری که مقادیر بار رسوبی زیاد نیز بهشت افزایش یافته است.

بيان کننده درصد اریب مقادیر جریان در قطاع پایین منحنی تداوم جریان (مقادیر با احتمال تجاوز بین ۰/۰ تا ۱) یا اریب جریان پایین است که مربوط به جریان پایه و آب زیرزمینی در درازمدت است. مقدار منفی این شاخص در منطقه مطالعه شده نشان می‌دهد با تغییر کاربری اراضی طی دوره‌های آتی مقدار آب پایه نسبت به دوره مینا در حوضه بهشت کاهش یافته است [۲۰ و ۲۱]. مقدار این شاخص برای رواناب در سال ۲۰۲۵ برابر ۵۸/۰۹ درصد و برای رسوب ۴۵/۷۸ درصد نسبت به دوره پایه است. مقدار این شاخص برای رواناب و رسوب در سال ۲۰۴۰ نیز به ترتیب ۵۷/۸۰ و ۴۶/۳۹ درصد به دست آمد. Palamuleni و همکارانش [۵] و Ahmadvand Kahrizi [۲۷] در مطالعات خود به نتایج مشابهی دست یافتند که بر اساس مطالعات آنها با تخریب کاربری جنگل و افزایش مناطق مسکونی و زراعت، مقدار آب پایه کاهش یافت و مقادیر پیک جریان بیشتر شدند.

یا SF CV و درصد اریب چولگی رواناب یا SF Skew در دوره آتی کاهش پیدا کردند. مقدار تغییرات چولگی رواناب در سال‌های ۲۰۲۵ و ۲۰۴۰ نسبت به دوره پایه ۲۲/۲۱ و ۲۲/۴۱ به دست آمد. همچنین، مقدار تغییرپذیری رواناب نسبت به دوره پایه برای سال‌های ۲۰۲۵ و ۲۰۴۰ برابر ۲۹/۰۹ و ۲۹/۳۰ به دست آمد. مقدار درصد تغییرات چولگی رسوب در سال‌های آتی ۲۰۲۵ و ۲۰۴۰ برابر ۱۶/۰۴ و ۱۵/۸۳ و مقدار تغییرپذیری رسوب به ترتیب برابر ۲۶/۰۹ و ۲۵/۳۱ درصد به دست آمد.

BiasFMM درصد اریب قطاع میانی سطوح جریان یا اریب میانه جریان ($p=0.5$) است [۲۰] که برای رواناب و رسوب برای هر دو بازه زمانی بهشت افزایش یافت. مقدار آن برای رواناب در سال ۲۰۲۵ برابر ۱۰۵/۰۲ و برای سال ۲۰۴۰ برابر ۱۳۹/۶۳ است. همچنین، مقدار این شاخص برای رسوب در سال ۲۰۲۵ و ۲۰۴۰ برابر ۴۸/۲۴ و ۶۸/۸۶ درصد به دست آمد. مقادیر مثبت این شاخص بیان کننده افزایش مقادیر میانه جریان در حوضه مطالعه شده است که تحت تأثیر نوسانات بلندمدت بیلان آبی هستند [۲۱]. شاخص درصد اریب شیب قطاع میانی BiasFDCmidslope مقادیری با احتمال تجاوز بین ۰/۲ تا ۰/۰ را شامل می‌شود. مقدار این شاخص برای رواناب ۴۱/۸۶ و ۴۲/۳۴ و برای رسوب ۳۵/۳۸ و ۳۶/۴۳ برای سال‌های ۲۰۲۵ و ۲۰۴۰ به دست آمد. درصد اریب مقادیر جریان بالا یا BiasFHV، بیان کننده مقادیر با احتمال تجاوز کمتر از ۰/۰۰ است. این شاخص کاملاً حساس به دوره‌های سیلابی شدید است و مقادیر دبی‌های اوج جریان را مقایسه می‌کند [۲۱]. مقدار این شاخص برای رواناب در



شکل ۸. مقادیر شاخص‌های دبی طی دوره‌های آتی نسبت به دوره زمانی پایه



شکل ۹. مقادیر شاخص‌های رسوب طی دوره‌های آتی نسبت به دوره زمانی پایه

زراعت و جنگل پهنه برگ از پویاترین کاربری‌های منطقه خواهد بود. نتایج به دست آمده از آشکارسازی تغییرات در سال ۲۰۲۵ به گونه‌ای است که در صورت ادامه روند موجود در منطقه $۶۲/۰۳$ درصد به طبقه مسکونی و $۳۲/۸۷$ درصد به طبقه زراعت افزوده خواهد شد. میزان تغییر این کاربری‌ها برای سال ۲۰۴۰ به ترتیب $۱۲۹/۴۴$ و $۵۱/۳۲$ درصد است که کاربری زراعت $۵۶/۰۲۲$ درصد منطقه را در بر خواهد گرفت. همچنین، بیشترین روند کاهشی مربوط به کاربری جنگل پهنه متراکم است که در سال ۲۰۲۵ و ۲۰۴۰ به ترتیب $۴۳/۱۱$ و $۴۳/۱۲$ درصد کاهش، خواهد یافت.

پس از تهیه نقشه‌های کاربری اراضی برای سال‌های مختلف با درنظر گرفتن نقشه سال ۲۰۰۰ به عنوان نقشه پایه SWAT اجرا شد. سپس، با استفاده از نرم‌افزار SWAT و برنامه SUFI2 و داده‌های مشاهداتی دبی و رسوب ایستگاه هیدرومتری اراز کوسه برای سال‌های ۲۰۰۸-۲۰۰۰ واسنجی شد و مقادیر بهینه پارامترها برای منطقه مطالعه شده به دست آمد و سپس با استفاده از داده‌های ۲۰۱۴-۲۰۰۹ به صورت ماهانه صحبت‌سنجدی شد. دبی با ضریب E_{NS} برابر R^2 ، 0.71 ، RMSE 0.70 ، PBIAS 0.32 و 0.39 برابر E_{NS} و با ضریب R^2 ، 0.61 ، RMSE 0.61 ، PBIAS 0.36 و 0.41 صحبت‌سنجدی شد. همچنین، رسوب با ضرایب E_{NS} ، R^2 ، RMSE و PBIAS به ترتیب برابر 0.65 ، 0.67 ، 0.72 و 0.74 بود. ارزیابی کارایی مدل SWAT نشان‌دهنده صحبت‌سنجدی شد. ارزیابی کارایی مدل SWAT نشان‌دهنده دقیق‌بیشتر شبیه‌سازی دبی نسبت به رسوب در منطقه مطالعه شده است. مقادیر نسبتاً زیاد p -factor و کم $R_{-factor}$

نتیجہ گیری

در تحقیق حاضر تأثیر تغییرات کاربری اراضی پیش‌بینی شده طی دوره‌های آتی بر میزان رواناب و رسوب و دیگر مؤلفه‌های سیکل هیدرولوژیکی در حوضه آبخیز تیل آباد با مساحت ۱۵۴۰ کیلومترمربع بررسی شد. به منظور ارزیابی تغییرات کاربری اراضی طی دوره گذشته تا حال از تصاویر ماهواره‌ای لندست برای سال‌های ۱۹۸۶، ۲۰۰۰ و ۲۰۱۵ و برای طبقه‌بندی تصاویر از نرمافزار ENVI و روش بیشترین احتمال استفاده شد. در نهایت، منطقه به هفت کلاس کاربری شامل آب، جنگل سوزنی‌برگ، جنگل پهنه‌برگ متراکم، جنگل پهنه‌برگ تنک، زراعت، مرتع-بایر و اراضی مسکونی تقسیم شد. نتایج بررسی تغییرات کاربری اراضی طی ۳۰ سال نشان داد مساحت کاربری‌های جنگل سوزنی‌برگ، مناطق مسکونی، آب و زراعت افزایش یافته و کاربری‌های جنگل پهنه‌برگ تنک، جنگل پهنه‌متراکم و مرتع آهنگ کاهش یافتند که بیان کننده روند کلی تخریب در منطقه است. این رخداد بدون شک ناشی از دخالت‌های انسان و شرایط اقلیمی حاکم بر منطقه است. همچنین، تهیه نقشه کاربری اراضی از روی تصاویر ماهواره‌ای سال‌های ۱۹۸۶، ۲۰۰۰ و ۲۰۱۵ با شاخص کاپای براسی 0.955 ، 0.865 و 0.961 ارزیابی شد. پس از بررسی نتایج به دست آمده از صحت مدل‌سازی تغییرات کاربری اراضی/پوشش زمین در سال 2015 ، از رویکرد مدل‌سازی زنجیره مارکوف و اتومای سلولی با ضریب کاپای 0.799 در نرمافزار IDRISI وضعیت طبقات کاربری اراضی سال‌های آینده 2025 و 2040 پیش‌بینی شد و اندازه تغییرات آن از طریق داده‌های سنجش از دور بررسی شد. نتایج نشان داد طی دوهای آتی، کاربری‌های مسکونی،

هیدرولوژیکی هستند به طوری که نتایج نشان داد طی دوره‌های آتی میزان رواناب سطحی، مقدار کل آب، رسوب، جریان زیرقشری و تبخیر و تعرق افزایش و به عکس جریان آب زیرزمینی، جریان برگشتی از آبخوان سطحی، تغذیه آبخوان عمیق، آب‌گذری به آبخوان سطحی و نفوذپذیری و آب‌گذری آب از داخل خاک کاهش می‌یابد. کاهش جریان آب زیرزمینی، تغذیه آبخوان عمیق، آب‌گذری به آبخوان سطحی و نفوذپذیری و افزایش مقادیر رواناب سبب افزایش وقایع سیلابی و آنی می‌شود که در این صورت مقادیر اوج جریان افزایش یافته و جریان پایه کاهش می‌یابد. این وقایع سیلابی مقادیر زیادی بار رسوبی با خود حمل می‌کنند که سبب افزایش مقادیر میانه و اوج رسوب نیز شده‌اند. بنابراین، برای غلبه بر مشکلات مربوط به تغییر سیکل هیدرولوژیکی، افزایش رواناب، رسوب و افزایش مقادیر جریان سیلابی تحت تأثیر کاربری اراضی لازم است که در منطقه مطالعه شده مدیریتی منظم و برنامه‌ریزی شده اعمال شود. در این تحقیق اثر کاربری اراضی پیش‌بینی شده روی سیکل هیدرولوژیکی تجزیه و تحلیل شد برای برنامه‌ریزی دقیق و جامع تر و مدیریت بهینه متابع آبی بهتر است که دیگر عوامل مؤثر از جمله آثار اقلیمی و افزایش جمعیت که بر میزان کمیت و کیفیت آب آتی حوضه بررسی شده تأثیرگذارند نیز بررسی شود.

منابع

- [1].Jaehak J, Narayanan K, Jeff Arnold R, Glick LG, Raghavan S. Development and Integration of Sub-hourly Rainfall–Runoff Modeling Capability within a Watershed Model. Water Resources Management. 2010. 24(15): 4505–4527.
- [2].Bieger K, Hormann G, Fohrer N. The impact of land use change in the Xiangxi Catchment (China) on water balance and sediment transport. Regional Environmental Change. 2015. 15(3): 485–498.
- [3].Tadesse W, Whitaker S, Crosson W, Wilson C. Assessing the Impact of Land-Use Land-Cover Change on Stream Water and Sediment Yields at a Watershed Level Using SWAT. Open Journal of Modern Hydrology. 2015. 5: 68-85.
- [4].Briones RU, Ella VB, Bantayan NC. Hydrologic Impact Evaluation of Land Use and Land Cover Change in Palico Watershed, Batangas, Philippines Using the SWAT Model. Journal of Environmental Science and Management. 2016. 19(1): 96-107.

نشان داد بیشتر داده‌های شبیه‌سازی در باند تخمین عدم قطعیت ۹۵ درصد قرار دارند. پس از حصول اطمینان از قابلیت زیاد مدل در شبیه‌سازی دبی و رسوب حوضه و رسیدن به مقادیر بهینه پارامترها، مدل به تعداد نقشه‌های موجود طی دوره آتی اجرا شده و میزان دبی و بار معلق و دیگر مؤلفه‌های سیکل هیدرولوژیکی شبیه‌سازی شده برای هر کاربری به دست آمد. چگونگی اجرای مدل به گونه‌ای بود که در هر بار اجرای مدل همه پارامترها و ورودی‌های مدل ثابت در نظر گرفته می‌شد و فقط نقشه کاربری به عنوان ورودی متغیر به مدل وارد می‌شد.

نتایج به دست آمده از اجرای مدل تحت کاربری‌های اراضی مختلف در سال‌های آتی نشان داد میزان تغییرات دبی، رسوب و دیگر مؤلفه‌های سیکل هیدرولوژیکی در سال ۲۰۴۰ نسبت به سال ۲۰۲۵ شدیدتر است. با تخریب کاربری اراضی میزان دبی و رسوب نیز افزایش می‌یابد. که در سال ۲۰۲۵ دبی و رسوب متوسط روزانه به ترتیب ۵۹/۴۷ و ۴۵/۲ درصد برای کل حوضه افزایش خواهد یافت و در سال ۲۰۴۰ نیز افزایش دبی و رسوب متوسط روزانه به ترتیب ۸۵/۹۱ و ۴۲/۲۴ درصد مشاهده شد. به طور کلی، میزان دبی متوسط روزانه از ۵/۵۴ مترمکعب بر ثانیه در سال ۲۰۰۰ به ۸/۸۴ مترمکعب بر ثانیه در سال ۲۰۲۵ و ۱۰/۳۱ مترمکعب بر ثانیه در سال ۲۰۴۰ افزایش یافت. همچنین، رسوب متوسط روزانه از ۱۷۰/۱۲۱ تن در روز در سال ۲۰۰۰ به ۲۱۱۸/۲۷ تن در ۲۰۴۰ تن در روز در سال ۲۰۲۵ و ۲۴۱۹/۷۶ تن در روز در سال ۲۰۴۰ تغییر می‌یابد.

در این تحقیق به عنوان رویکردی جدید تأثیر کاربری اراضی آتی بر هیدروگراف دبی و رسوب با استفاده از شاخص‌های مختلف هیدرولوژیکی ارزیابی شد. برای این کار منحنی تداوم جریان برای سری‌های زمانی مختلف دبی و رسوب طی دوره آتی و پایه در برنامه Matlab کدنویسی و استخراج شد و احتمال تجاوز وقوع در محدوده صفر تا یک به دست آمد. نتایج نشان داد با تغییر کاربری اراضی طی دوره آتی مقدار جریان پایه برای هر دو متغیر دبی و رسوب طی دوره آتی نسبت به زمان پایه کاهش می‌یابد. این جریانات تحت تأثیر آب زیرزمینی در درازمدت هستند. به عکس جریان‌های حجم میانه و زیاد جریان که تحت تأثیر نوسانات کوتاه‌مدت و میان‌مدت و جریان‌های سیلابی هستند به شدت افزایش یافته‌اند. نتایج به دست آمده به منظور تغییر مؤلفه‌های مختلف سیکل

- [5].Palamuleni LG, Ndomba PM, Annegarn HJ. Evaluating land cover change and its impact on hydrological regime in Upper Shire river catchment, Malawi. *Journal of Regional Environmental Change*. 2011. 11(4): 845-855.
- [6].Khoi DN, Suetsugi T. The responses of hydrological processes and sediment yield to land-use and climate change in the Be River Catchment, Vietnam. *Hydrological Processes*. 2014. 28(3): 640–652.
- [7].Schmalz B, Fohrer N. Comparing model sensitivities of different landscapes using the eco hydrological SWAT model. *Advances in Geosciences*. 2009. 21: 91-98.
- [8].Salmani H, Mohseni Saravi M, Rouhani H, Salajeghe A. Evaluation of Land Use Change and its Impact on the Hydrological Process in the Ghazaghli Watershed, Golestan Province. *Journal of Watershed Management Research*. 2012. 3(6): 43-60. [Persian].
- [9].Anaba LA, Banadda N, Kiggundu N, Wanyama J, Engel B., Moriasi D. Application of SWAT to Assess the Effects of Land Use Change in the Murchison Bay Catchment in Uganda. *Computational Water, Energy, and Environmental Engineering*. 2017. 6: 24-40.
- [10]. Wang S, Kang S, Zhang L, Li F. Modelling hydrological response to different land-use and climate change scenarios in the Zamu River basin of northwest China. *Journal of Hydrological Processes*. 2008. 22: 2502-2510.
- [11]. Huang TCC, Lo KFA. Effects of Land Use Change on Sediment and Water Yields in Yang Ming Shan National Park, Taiwan. *Environments*. 2015. 2: 32-42.
- [12]. Zuo D, Xu Z, Yao W, Jin S, Xiao P, Ran D. Assessing the effects of changes in land use and climate on runoff and sediment yields from a watershed in the Loess Plateau of China. *Science of the Total Environment*. 2016. 544: 238-250.
- [13]. Aghabéighi Amin S, Ildromi A, Nouri HR, Hghighi Kermanshahi A. The impact of suspended sediment from land use changes in the watershed Dinawar Kermanshah Province. 2016. *Journal of Ecohydrology*. 3(4):611-621. [Persian].
- [14]. Ngo TS, Nguyen DB, Shrestha RP. Effect of land use chanfe on runoff and sediment yield in Da River Basin of Binh province, Northwest Vietnam. *Journal of Mountain Science*. 2015. 12(4): 1051–1064.
- [15]. Da Silva VDP, Silva MT, De Souza EP. Influence of Land Use Change on Sediment Yield: A Case Study of the Sub-Middle of the São Francisco River Basin. *Journal of the Brazilian Association of Agricultural Engineering*. 2016. 36(6): 1005-1015.
- [16]. Saleh DK, Kratzer CR, Green CH, Evans DG. Using the Soil and Water Assessment Tool (SWAT) to Simulate Runoff in Mustang Creek Basin, California, *Scientific Investigations Report 2009-5031*, U.S. Geological Survey, Reston, Virginia, the American water resources association. 2009. 44(1): 48-61.
- [17]. Iranmehr M, Pourmanafi S, Soffianian A. Ecological Monitoring and Assessment of Spatial-Temporal Changes in Land Cover with an Emphasis on Agricultural Water Consumption in Zayandeh Rood Region. 2015. *Journal of Ecohydrology*. 2(1):23-38. [Persian].
- [18]. Karimi K, Komaki CB. Monitoring, assessment and prediction of spatial changes of land use /cover using Markov chain model (Case study: Bostagh Plain - South Khorasan). *RS & GIS for Natural Resources*. 2015. 6(2): 75-88. [Persian].
- [19]. Heidarizadi Z, Mohamadi A. Predicting the Land Use Change Using Markov- Cellular Automata Model in Mehran Plain. *Desert Ecosystem Engineering Journal*. 2016. 5(10): 57-68. [Persian].
- [20]. Yilmaz KK, Gupta HV, Wagener T. A process-based diagnostic approach to model evaluation: Application to the NWS distributed hydrologic model. *Water Resour. Res.* 2008. 44(9). W09417. DOI: 10.1029/2007WR006716.
- [21]. Casper MC, Grigoryan G, Gronz O, Gutjahr O, Heinemann G, Ley R, Rock A. Analysis of projected hydrological behavior of catchments based on signature indices. *Hydrol. Earth Syst. Sci.* 2012. 16: 409–421.
- [22]. Sang L, Zhang C, Yang J, Zhu D, Yun W. Simulation of land use spatial pattern of towns and villages based on CA-Markov model. *Mathematical and Computer Modelling*. 2011. 54(3): 938-943.
- [23]. Chang CL, Chang JC. Markov model and cellular automata for vegetation. *Journal of Geographical Research*. 2006. 45: 45-57.
- [24]. Farajollahi A, Asgar HR, Ownagh M, Mahboubi MR, Salman Mahini R. Monitoring and prediction of spatial and temporal changes of landuse/ cover (Case study: Marave Tappeh region, Golestan). *RS & GIS for Natural Resources*. 2016. 6(4): 1-14. [Persian].

- [25]. Gebremicael TG, Mohamed YA, Betrie GD, Zaag P, Teferi E. Trend analysis of runoff and sediment fluxes in the Upper Blue Nile basin: a combined analysis of statistical tests, physically-based models and landuse maps. *Hydrology*. 2013; 482: 57–68.
- [26]. Vafakhah M, Javadi, MR, Najafi Majd J. Effect of Land Use Changes on Runoff Depth in Chalousrud Watershed. 2015. *Journal of Ecohydrology*. 2(2):211-220. [Persian].
- [27]. Ahmadvand Kahrizi M. Modeling the effects of climate change on runoff and sediment Aratzkoseh watershed, Golestan Province. Master's thesis Watershed Management, Gonbad University. 154 pp. [Persian].